

# Funkcijų aproksimavimas

[http://oras.if.ktu.lt/moduliai/T170B115/Skaitiniai\\_inzinerijos\\_metodai su MATLAB \(KP RG RB\)2009](http://oras.if.ktu.lt/moduliai/T170B115/Skaitiniai_inzinerijos_metodai_su_MATLAB_(KP_RG_RB)2009)

F9.pdf

[http://oras.if.ktu.lt/moduliai/T170B115 /Skaitiniai\\_inzinerijos\\_metodai\(RB\) 2006](http://oras.if.ktu.lt/moduliai/T170B115/Skaitiniai_inzinerijos_metodai(RB)_2006)

I.3.pdf

# Funkcijų aproksimavimas. **Uždavinio formuluotė**

Aproksimavimas – tai funkcijos, kurios reikšmės aproksimavimo taškuose būtų **kiek galima mažiau nutolusios** nuo duotųjų reikšmių, radimas.

1. Kreivė  $y=f(x)$  neprivalo praeiti per duotus taškus  $(x_i, y_i)$ , t. y.  $f(x_i)=y_i$ ,  $i=1, 2, \dots, n$ ;

2. funkcijos  $f(x)$  analitinė išraiška neturi būti labai sudėtinga;

3. funkcija  $f(x)$  turi būti nesunkiai integruojama ir diferencijuojama;

4.4) funkcija  $f(x)$  turi būti nesunkiai surandama (pvz., jos parametrai apskaičiuojami pagal žinomas formules, arba sprendžiant tiesinių lygčių sistemą).

# Funkcijų aproksimavimas *mažiausių kvadratų* metodu

Taškų seka, kurią reikia aproksimuoti:  $(x_i, y_i)$ ,  $i = 1, \dots, n$

$$\Psi = \frac{1}{2} \sum_{j=1}^n \left( f(x_j) - y_j \right)^2$$

Aproksimacijos  
kokybės įverčio  
funkcija

ieškoma funkcija

$\min_f \Psi$

# Aproksimavimas daugianariais *vienanarių bazėje*

Taškų seka, kurią reikia aproksimuoti:  $(x_i, y_i)$ ,  $i = 1, \dots, n$

Duotų taškų skaičius ir aproksimuojančių funkcijų skaičius gali nesutapti

Aproksimuojančios funkcijos  
ieškosime parinktų bazinių  
funkcijų tiesinės  
kombinacijos pavidale

$$f(x) = \begin{bmatrix} g_1(x) & g_2(x) & \dots & g_{m-1}(x) & g_m(x) \end{bmatrix} \begin{Bmatrix} c_1 \\ c_2 \\ \vdots \\ c_{m-1} \\ c_m \end{Bmatrix} = [\mathbf{g}(x)] \{\mathbf{c}\}$$

↑  
Bazinės funkcijos

↑  
koeficientai

# Aproksimavimo kokybės įverčio funkcija užrašoma matricomis

$$f(x_j) - y_j$$



$$\begin{Bmatrix} f(x_1) - y_1 \\ f(x_2) - y_2 \\ \vdots \\ f(x_n) - y_n \end{Bmatrix} = \begin{bmatrix} g_1(x_1) & g_2(x_1) & \cdots & g_m(x_1) \\ g_1(x_2) & g_2(x_2) & \cdots & g_m(x_2) \\ \vdots & \vdots & \ddots & \vdots \\ g_1(x_n) & g_2(x_n) & \cdots & g_m(x_n) \end{bmatrix} \begin{Bmatrix} c_1 \\ c_2 \\ \vdots \\ c_m \end{Bmatrix} - \begin{Bmatrix} y_1 \\ y_2 \\ \vdots \\ y_n \end{Bmatrix} = [\mathbf{G}]_{n \times m} \{\mathbf{c}\}_{m \times 1} - \{\mathbf{y}\}_{n \times 1}$$



$$\Psi = \frac{1}{2} \left( [\mathbf{G}] \{\mathbf{c}\} - \{\mathbf{y}\} \right)^T \left( [\mathbf{G}] \{\mathbf{c}\} - \{\mathbf{y}\} \right)$$



ieškomi koeficientai

# Aproksimavimo kokybės įverčio funkcijos minimumo sąlyga:

$$\frac{\partial \Psi}{\partial \{\mathbf{c}\}} = \begin{bmatrix} \frac{\partial \Psi}{\partial c_1} & \frac{\partial \Psi}{\partial c_2} & \dots & \frac{\partial \Psi}{\partial c_m} \end{bmatrix}$$

$$\begin{aligned} \frac{\partial \Psi}{\partial \{\mathbf{c}\}} &= \frac{\partial}{\partial \{\mathbf{c}\}} \left( \frac{1}{2} ([\mathbf{G}]\{\mathbf{c}\} - \{\mathbf{y}\})^T ([\mathbf{G}]\{\mathbf{c}\} - \{\mathbf{y}\}) \right) = \\ &= ([\mathbf{G}]\{\mathbf{c}\} - \{\mathbf{y}\})^T \frac{\partial}{\partial \{\mathbf{c}\}} ([\mathbf{G}]\{\mathbf{c}\} - \{\mathbf{y}\}) = ([\mathbf{G}]\{\mathbf{c}\} - \{\mathbf{y}\})^T [\mathbf{G}]; \end{aligned}$$

$$\left( \frac{\partial \Psi}{\partial \{\mathbf{c}\}} \right)^T = [\mathbf{G}]^T [\mathbf{G}]\{\mathbf{c}\} - [\mathbf{G}]^T \{\mathbf{y}\} = 0;$$

$$\left( \left( [\mathbf{G}]^T \right)_{m \times n} [\mathbf{G}]_{n \times m} \right)_{m \times m} \{\mathbf{c}\}_{m \times 1} = \left( [\mathbf{G}]^T \right)_{m \times n} \{\mathbf{y}\}_{n \times 1}$$

# Aproksimuojančios funkcijos pavaizdavimas

Vaizdavimo taškų abscisės:  $x_0, x_0 + \Delta x, \dots, x_0 + (N-1)\Delta x$



N taškų

$$[\tilde{\mathbf{G}}]_{N \times m} = \begin{bmatrix} g_1(x_0) & g_2(x_0) & \cdots & g_m(x_0) \\ g_1(x_0 + \Delta x) & g_2(x_0 + \Delta x) & \cdots & g_m(x_0 + \Delta x) \\ \vdots & \vdots & \ddots & \vdots \\ g_1(x_0 + (N-1)\Delta x) & g_2(x_0 + (N-1)\Delta x) & \cdots & g_m(x_0 + (N-1)\Delta x) \end{bmatrix}$$

Vaizdavimo taškų ordinačių  
vektorius-stulpelis :

$$[\tilde{\mathbf{G}}] \{\mathbf{c}\}$$

# Bazinių funkcijų matricos apskaičiavimas

```
function G=base(m,x)
    for i=1:m
        G(:,i)=x.^(i-1);
    end
return
end
```

$$\begin{bmatrix} g_1(x_1) & g_2(x_1) & \cdots & g_m(x_1) \\ g_1(x_2) & g_2(x_2) & \cdots & g_m(x_2) \\ \vdots & \vdots & \ddots & \vdots \\ g_1(x_n) & g_2(x_n) & \cdots & g_m(x_n) \end{bmatrix} \rightarrow \begin{bmatrix} 1 & x_1 & \cdots & x_1^{n-1} \\ 1 & x_2 & \cdots & x_2^{n-1} \\ \vdots & \vdots & \ddots & \vdots \\ 1 & x_n & \cdots & x_n^{n-1} \end{bmatrix}$$
$$\begin{bmatrix} 1 & x & x^2 & \cdots & x^{n-1} \end{bmatrix}$$

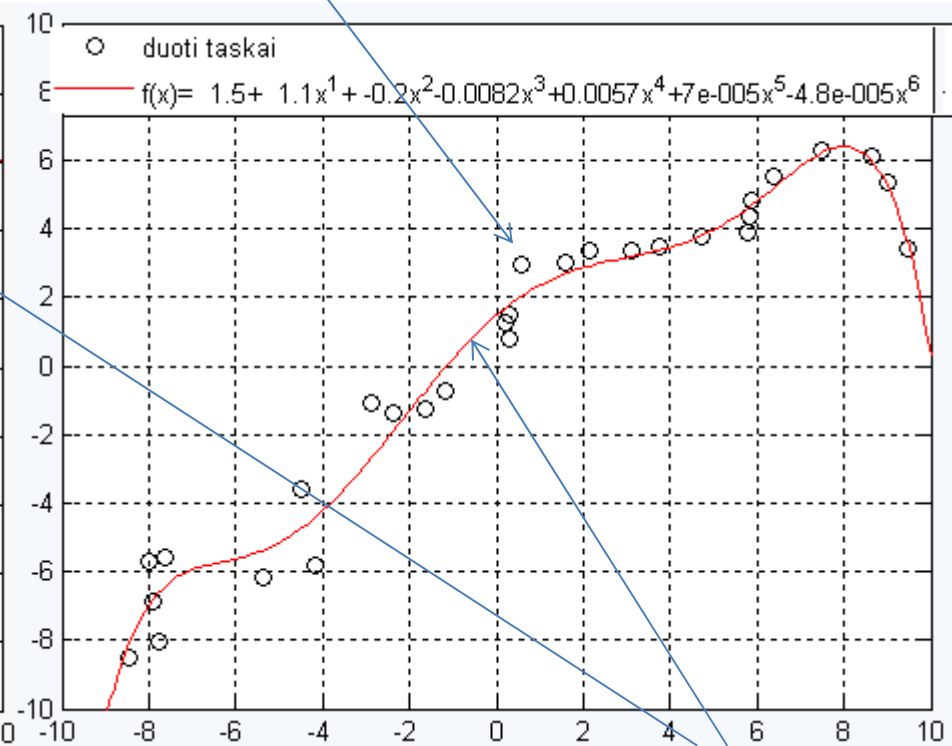
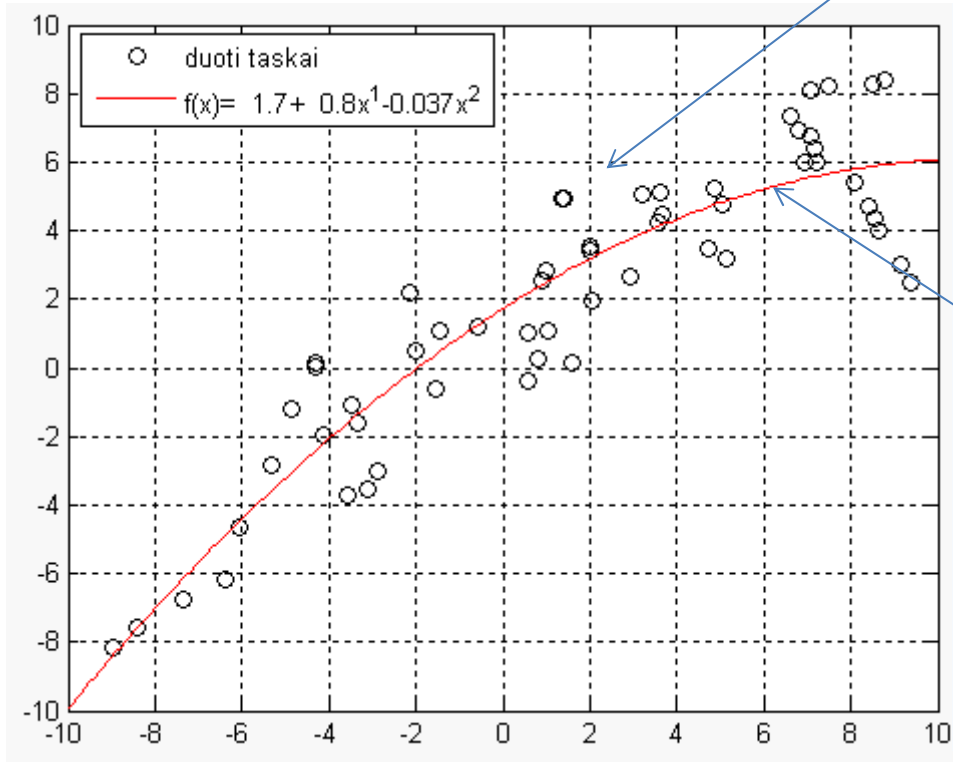


# Aproksimavimas daugianariais *vienanarių bazėje*

Taškų seka, kurią reikia aproksimuoti:  $(x_i, y_i)$ ,  $i = 1, \dots, n$

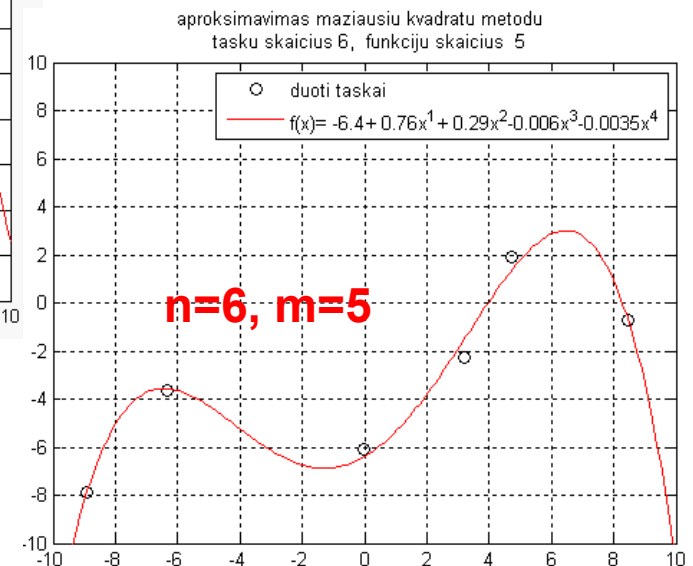
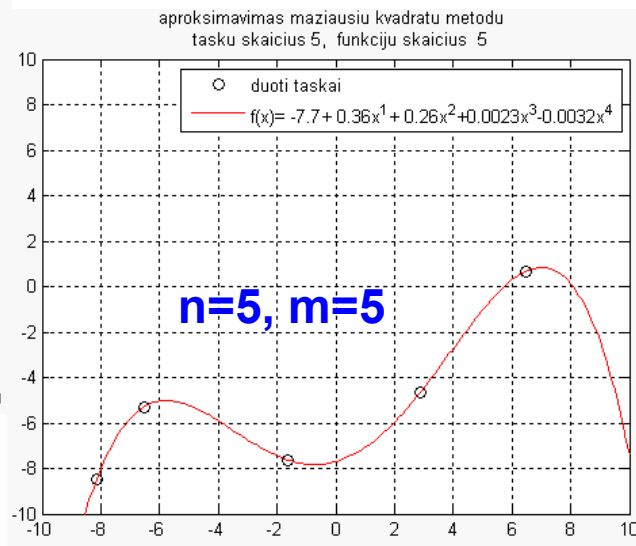
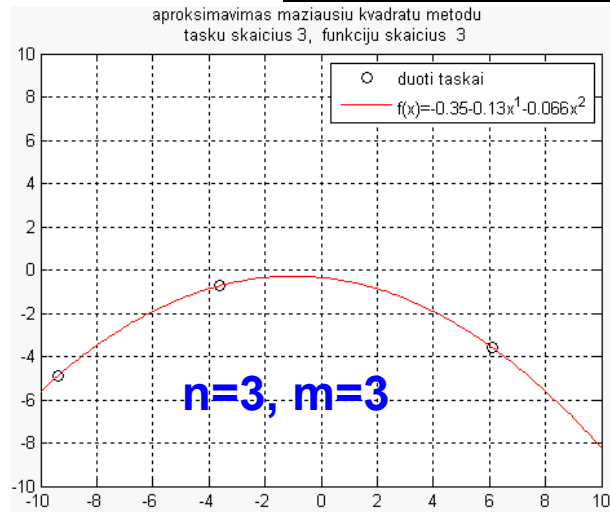
Bazinės funkcijos:

$$\begin{bmatrix} 1 & x & x^2 & \dots & x^{n-1} \end{bmatrix}$$



$$[G]^T [G] \{c\} = [G]^T \{y\} \Rightarrow \{c\} \Rightarrow [\tilde{G}] \{c\}$$

Kai **bazinių funkcijų skaičius** ir **aproksimuojamų taškų skaičius** sutampa ( $n=m$ ), aproksimuojanči kreivė praeina per visus taškus:  $\min_f \Psi = 0$

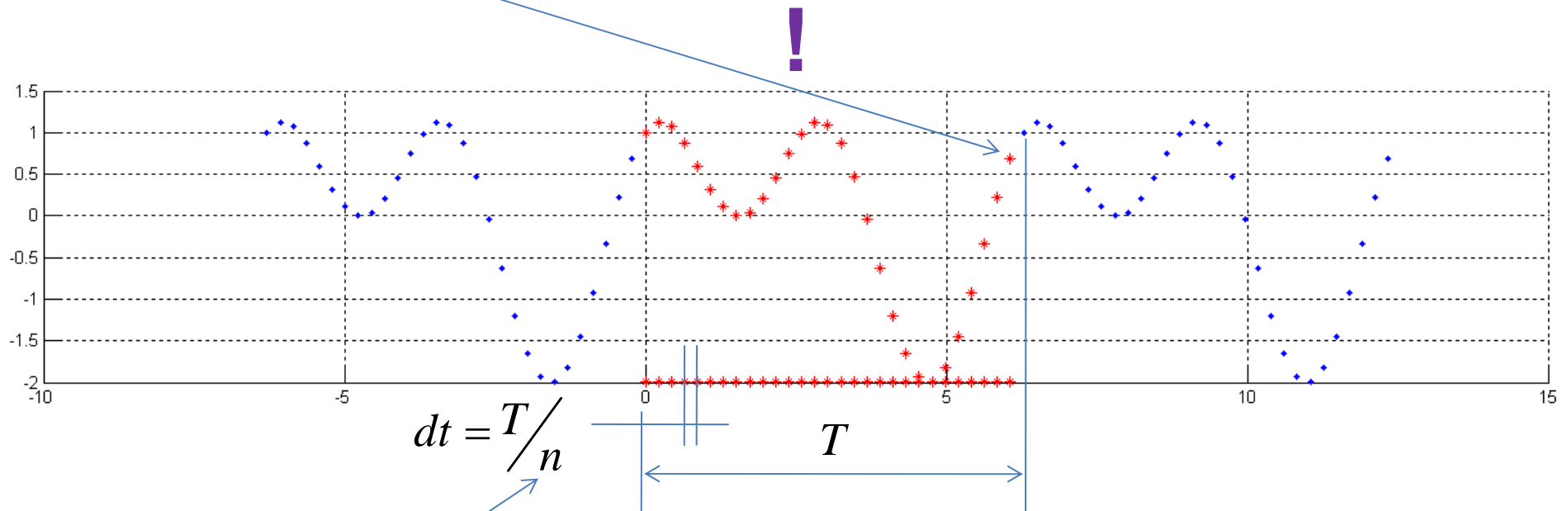


Interpoliavimo uždavinys yra aproksimavimo uždavinio atskiras atvejis, kai  $n=m$

# Aproksimavimas trigonometriniais daugianariais

## *Diskrečioji Furje aproksimacija*

- Taškų seka, kurią reikia aproksimuoti, yra periodinė;
- Intervalai tarp taškų yra vienodi,
- Paskutinis duotas periodo taškas yra per viena intervala nuo periodo pabaigos



$n$  – duotų taškų ir tuo pačiu periodo dalijimo intervalų skaičius

$$(t_i, y_i), \quad i = 0, 1, \dots, n-1$$

# Trigonometrinės bazinės funkcijos

$$(t_i, y_i), \quad i = 0, 1, \dots, n-1$$

Trigonometrinio daugianario pavidalo  
interpoliacinė funkcija

$$\begin{bmatrix} 1 & \cos \frac{2\pi t}{T} & \cos 2 \frac{2\pi t}{T} & \dots & \cos(m-1) \frac{2\pi t}{T} & \sin \frac{2\pi t}{T} & \sin 2 \frac{2\pi t}{T} & \dots & \sin(m-1) \frac{2\pi t}{T} \end{bmatrix} \begin{Bmatrix} a_0 \\ a_1 \\ a_2 \\ \vdots \\ a_{m-1} \\ b_1 \\ b_2 \\ \vdots \\ b_{m-1} \end{Bmatrix}$$

↑  
Bazinės funkcijos

↑  
koeficientai

# Trigonometrinių bazinių funkcijų ortogonalumas sumavimo atžvilgiu:

$$(t_i, y_i), \quad i = 0, 1, \dots, n-1$$

$$\begin{bmatrix} 1 & \cos \frac{2\pi t}{T} & \cos 2 \frac{2\pi t}{T} & \dots & \cos(m-1) \frac{2\pi t}{T} & \sin \frac{2\pi t}{T} & \sin 2 \frac{2\pi t}{T} & \dots & \sin(m-1) \frac{2\pi t}{T} \end{bmatrix}$$

$$\sum_{i=0}^{n-1} \cos\left(k \frac{2\pi t_i}{T}\right) \cos\left(l \frac{2\pi t_i}{T}\right) = 0;$$

$$\sum_{i=0}^{n-1} \sin\left(k \frac{2\pi t_i}{T}\right) \sin\left(l \frac{2\pi t_i}{T}\right) = 0;$$

$$\sum_{i=0}^{n-1} \cos\left(k \frac{2\pi t_i}{T}\right) \sin\left(l \frac{2\pi t_i}{T}\right) = 0;$$

$$k, l = 0 : m-1, \quad k \neq l$$

$$\sum_{i=0}^{n-1} \cos^2\left(k \frac{2\pi t_i}{T}\right) = \frac{n}{2};$$

$$\sum_{i=0}^{n-1} \sin^2\left(k \frac{2\pi t_i}{T}\right) = \frac{n}{2};$$

$$k = 1 : m-1$$

$$\sum_{i=0}^{n-1} \cos^2\left(0 \frac{2\pi t_i}{T}\right) = n;$$

# Mažiausių kvadratų metodo lygčių sistemos matrica

$$(t_i, y_i), \quad i = 0, 1, \dots, n-1$$

$$[G]^T [G] \{c\} = [G]^T \{y\}$$

$$[G]^T [G] = \begin{bmatrix} 1 & 1 & \dots & 1 \\ 1 & \cos \frac{2\pi t_1}{T} & \dots & \cos \frac{2\pi t_{n-1}}{T} \\ \vdots & \vdots & \ddots & \vdots \\ 1 & \cos(m-1) \frac{2\pi t_1}{T} & \dots & \cos(m-1) \frac{2\pi t_{n-1}}{T} \\ 0 & \sin \frac{2\pi t_1}{T} & \dots & \sin \frac{2\pi t_{n-1}}{T} \\ \vdots & \vdots & \ddots & \vdots \\ 0 & \sin(m-1) \frac{2\pi t_1}{T} & \dots & \sin(m-1) \frac{2\pi t_{n-1}}{T} \end{bmatrix} \begin{bmatrix} 1 & 1 & \dots & 1 & 0 & 0 & \dots & 0 \\ \cos \frac{2\pi t_1}{T} & \cos \frac{2\pi t_1}{T} & \dots & \cos(m-1) \frac{2\pi t_1}{T} & \sin \frac{2\pi t_1}{T} & \sin 2 \frac{2\pi t_1}{T} & \dots & \sin(m-1) \frac{2\pi t_1}{T} \\ \vdots & \vdots & \ddots & \vdots & \vdots & \vdots & \ddots & \vdots \\ \cos \frac{2\pi t_{n-1}}{T} & \cos \frac{2\pi t_{n-1}}{T} & \dots & \cos(m-1) \frac{2\pi t_{n-1}}{T} & \sin \frac{2\pi t_{n-1}}{T} & \sin 2 \frac{2\pi t_{n-1}}{T} & \dots & \sin(m-1) \frac{2\pi t_{n-1}}{T} \end{bmatrix} =$$

$$= \begin{bmatrix} n & 0 & 0 & 0 \\ 0 & n/2 & 0 & 0 \\ 0 & 0 & \ddots & 0 \\ 0 & 0 & 0 & n/2 \end{bmatrix}_{(2m-1) \times (2m-1)}$$

Bazinės funkcijos yra ortogonalios sumavimo atžvilgiu, todėl sistemos matrica gaunama istrižaininė

# Mažiausių kvadratų metodo lygčių sistemos laisvųjų narių vektorius

$$(t_i, y_i), \quad i = 0, 1, \dots, n-1$$

$$[\mathbf{G}]^T [\mathbf{G}] \{\mathbf{c}\} = [\mathbf{G}]^T \{\mathbf{y}\}$$

$$[\mathbf{G}]^T [\mathbf{G}] = \begin{bmatrix} n & 0 & 0 & 0 \\ 0 & n/2 & 0 & 0 \\ 0 & 0 & \ddots & 0 \\ 0 & 0 & 0 & n/2 \end{bmatrix}_{(2m-1) \times (2m-1)}$$

$$; \quad [\mathbf{G}]^T \{\mathbf{y}\} = \begin{Bmatrix} \sum_{i=0}^{n-1} y_i \\ \sum_{i=0}^{n-1} \cos \frac{2\pi t_i}{T} y_i \\ \sum_{i=0}^{n-1} \cos 2 \frac{2\pi t_i}{T} y_i \\ \vdots \\ \sum_{i=0}^{n-1} \cos(m-1) \frac{2\pi t_i}{T} y_i \\ \sum_{i=0}^{n-1} \sin \frac{2\pi t_i}{T} y_i \\ \sum_{i=0}^{n-1} \sin 2 \frac{2\pi t_i}{T} y_i \\ \vdots \\ \sum_{i=0}^{n-1} \sin(m-1) \frac{2\pi t_i}{T} y_i \end{Bmatrix}_{(2m-1) \times 1}$$

# Diskrečiosios Furje aprosimacijos koeficientai

$$(t_i, y_i), \quad i = 0, 1, \dots, n-1$$

$$[\mathbf{G}]^T [\mathbf{G}] \begin{Bmatrix} a_0 \\ a_1 \\ a_2 \\ \vdots \\ a_m \\ b_1 \\ b_2 \\ \vdots \\ b_m \end{Bmatrix} = [\mathbf{G}]^T \{\mathbf{y}\}$$



$$\begin{Bmatrix} a_0 \\ a_1 \\ a_2 \\ \vdots \\ a_m \\ b_1 \\ b_2 \\ \vdots \\ b_m \end{Bmatrix} =$$

$$\begin{Bmatrix} \frac{1}{n} \sum_{i=0}^{n-1} y_i \\ \frac{2}{n} \sum_{i=0}^{n-1} \cos \frac{2\pi t_i}{T} y_i \\ \frac{2}{n} \sum_{i=0}^{n-1} \cos 2 \frac{2\pi t_i}{T} y_i \\ \vdots \\ \frac{2}{n} \sum_{i=0}^{n-1} \cos(m-1) \frac{2\pi t_i}{T} y_i \\ \frac{2}{n} \sum_{i=0}^{n-1} \sin \frac{2\pi t_i}{T} y_i \\ \frac{2}{n} \sum_{i=0}^{n-1} \sin 2 \frac{2\pi t_i}{T} y_i \\ \vdots \\ \frac{2}{n} \sum_{i=0}^{n-1} \sin(m-1) \frac{2\pi t_i}{T} y_i \end{Bmatrix}$$

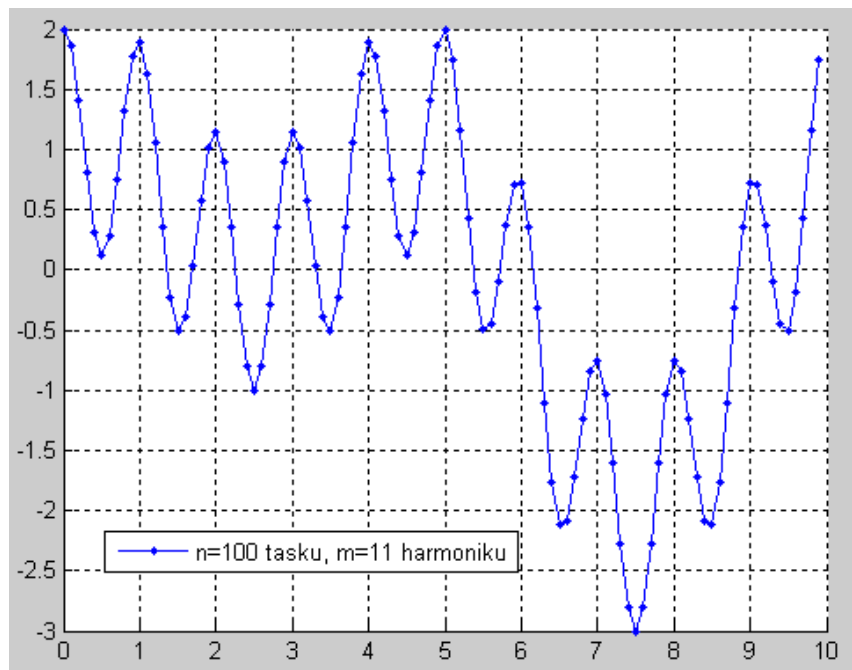
Vaizdavimo taškų ordinačių  
vektorius-stulpelis :

$$[\tilde{\mathbf{G}}] \{\mathbf{c}\}$$

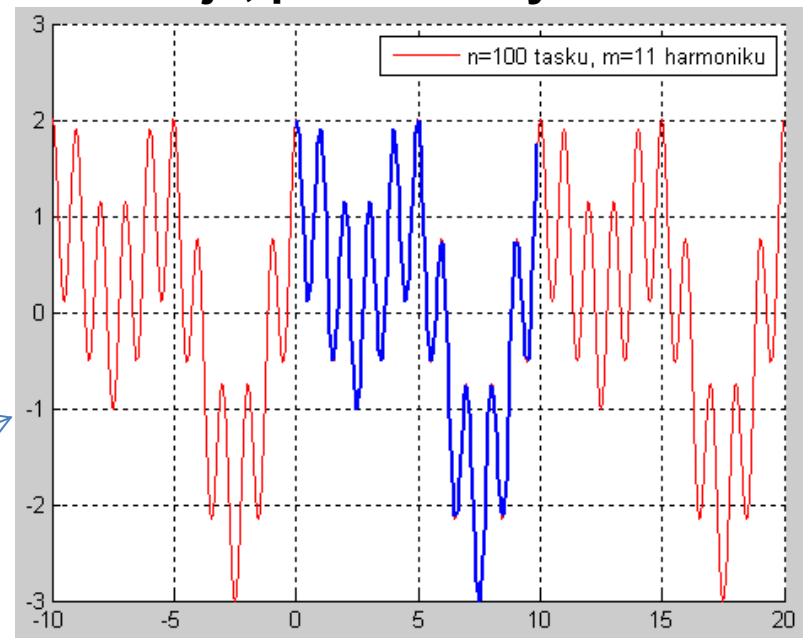


## Furje aproksimacija, priklausomybė nuo laiko, m=11

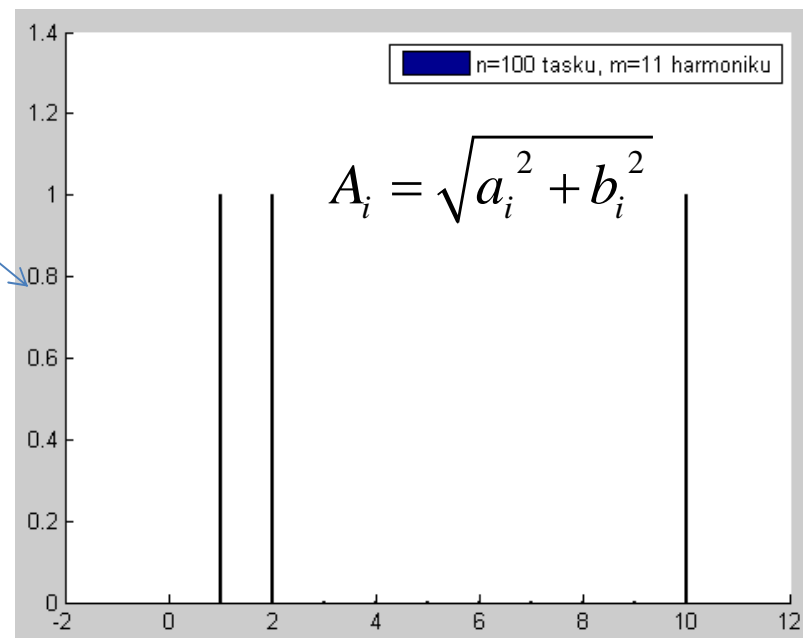
Duota taškų seka, vienas periodas,  
n=100



```
function rez=fnk(T,t)
    rez=sin(2*pi*t/T)+...
        cos(2*pi*2*t/T)+...
        cos(2*pi*10*t/T);
return
end
```

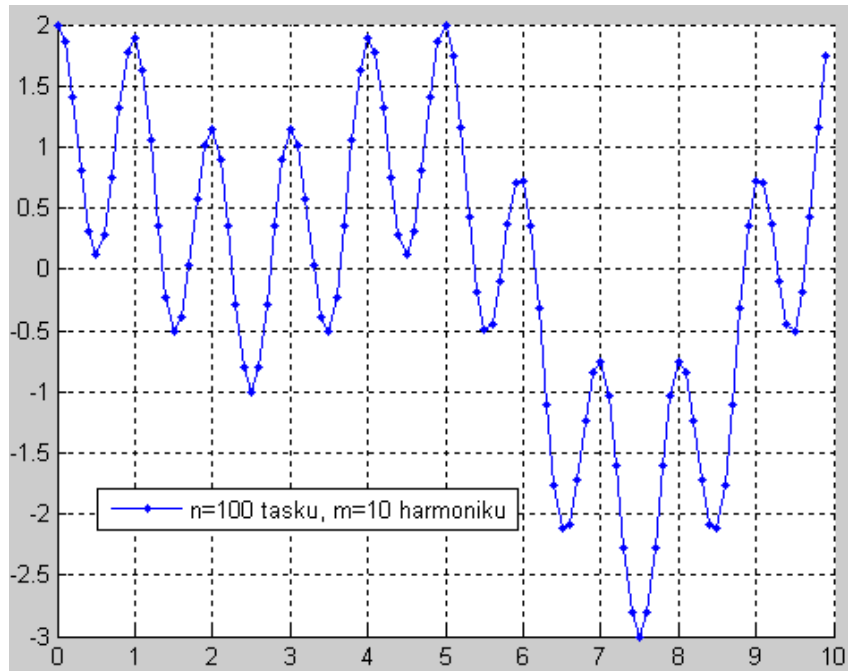


## Furje aproksimacija, harmonikų amplitudės, m=11

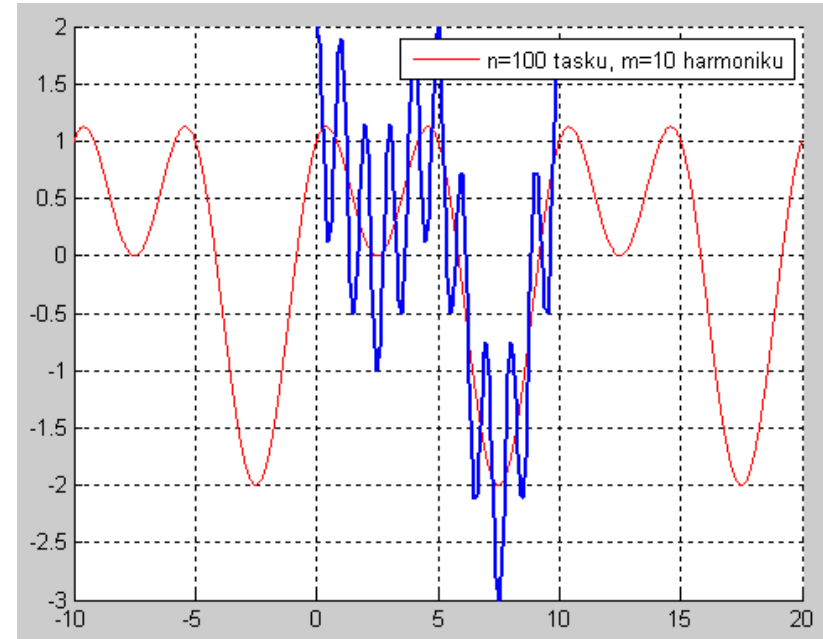


## Furje aproksimacija, priklausomybė nuo laiko, m=10

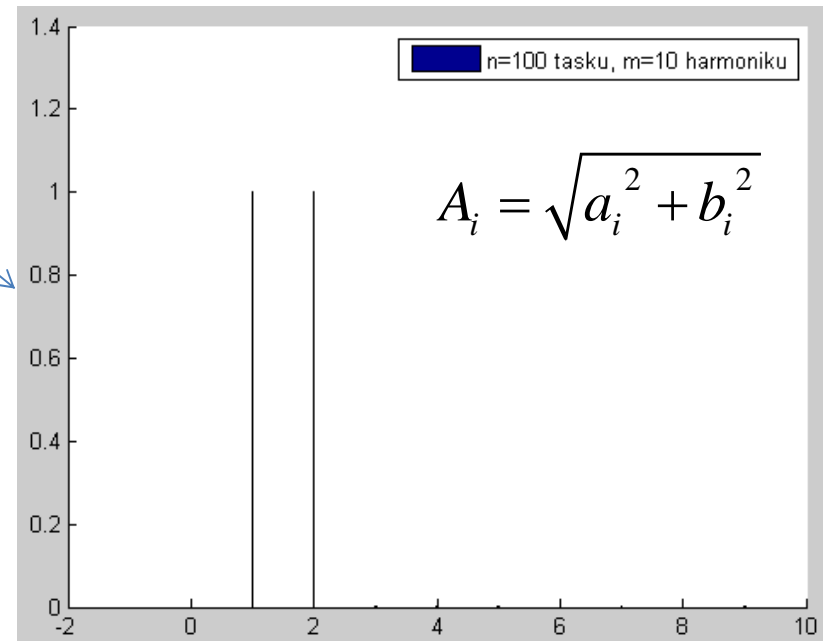
Duota taškų seka, vienas periodas,  
n=100



```
function rez=fnk(T,t)
    rez=sin(2*pi*t/T)+...
        cos(2*pi*2*t/T)+...
        cos(2*pi*10*t/T);
return
end
```

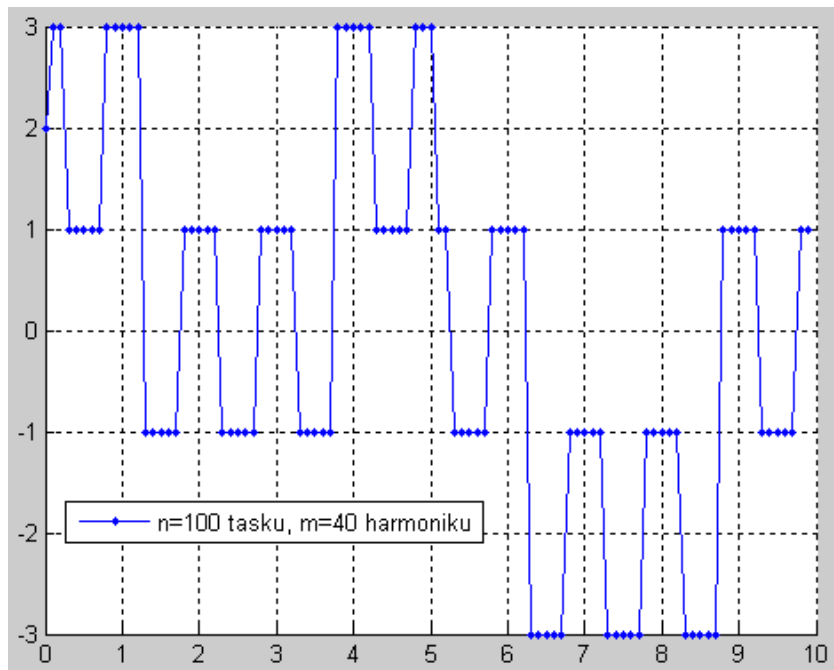


## Furje aproksimacija, harmonikų amplitudės, m=10



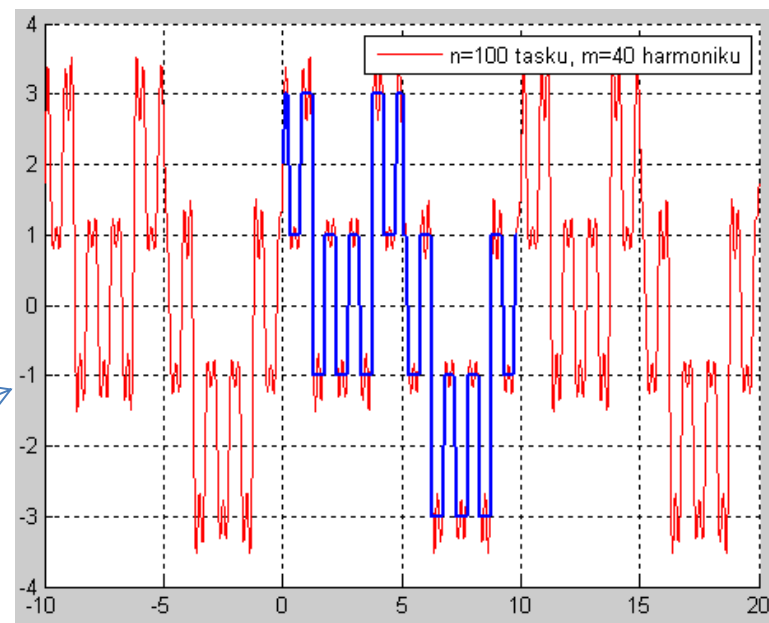
## Furje aproksimacija, priklausomybė nuo laiko, m=40

Duota taškų seka, vienas periodas,  
n=100

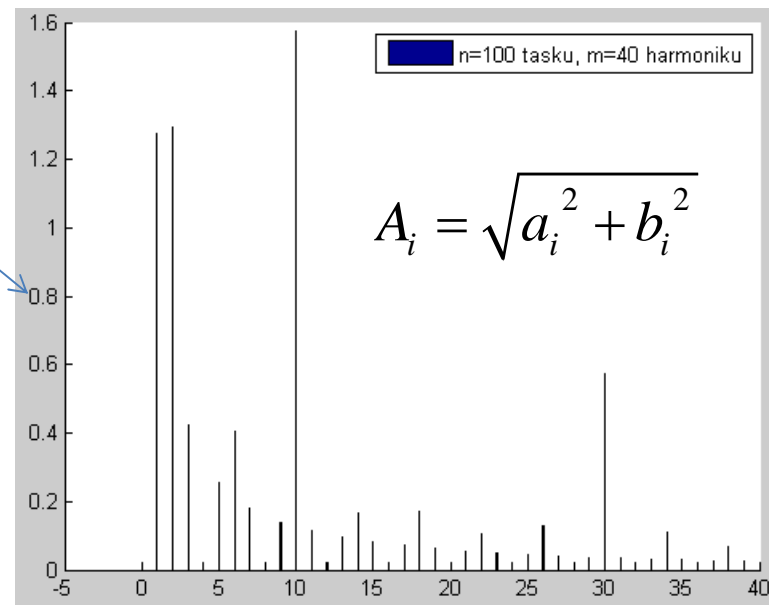


```
function rez=fnk(T,t)
    rez=sign(sin(2*pi*t/T))+...
        sign(cos(2*pi*2*t/T))+...
        sign(cos(2*pi*10*t/T));

return
end
```

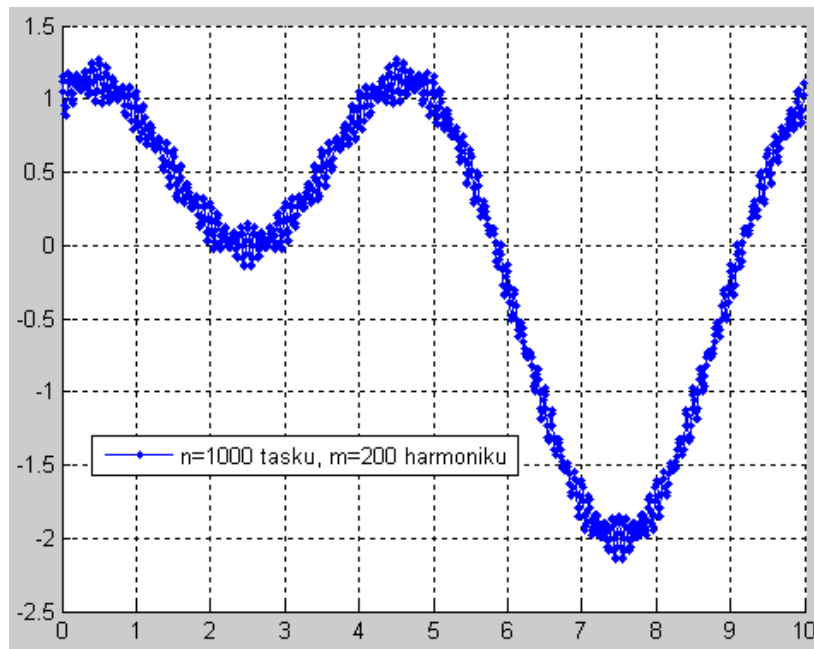


## Furje aproksimacija, harmonikų amplitudės, m=40



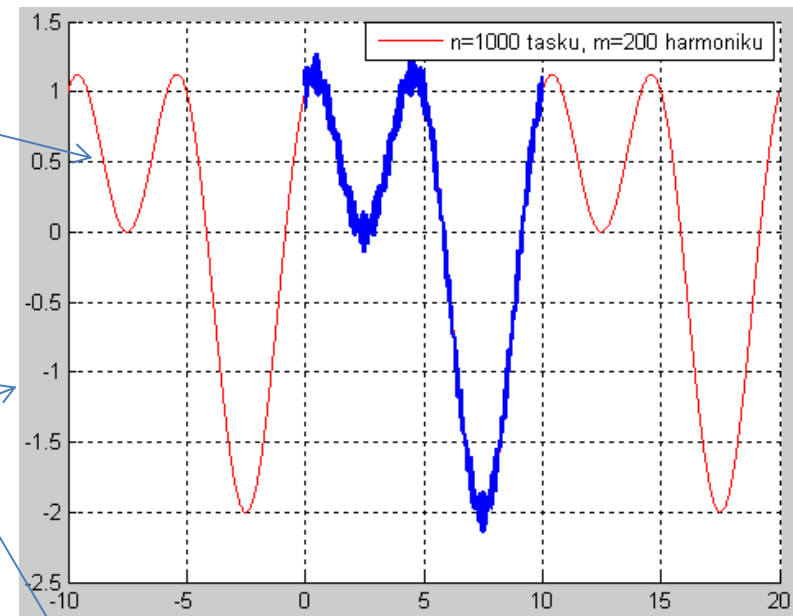
Signalas nufiltruotas, atmetant  
harmonines dedamąsias pagal  
amplitudės slenksčio reikšmę

Signalas su “triukšmais”, n=1000

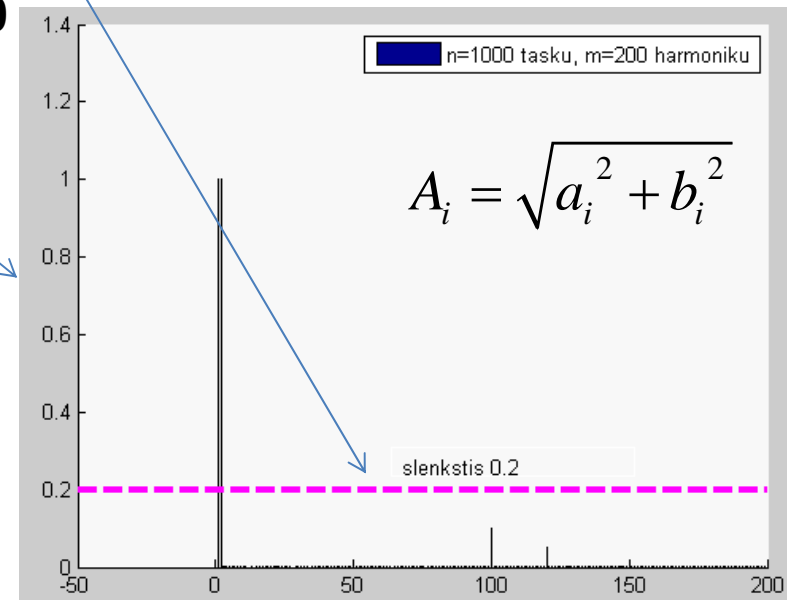


```
function rez=fnk(T,t)
    rez=sin(2*pi*t/T)+...
        cos(2*pi*2*t/T)+...
        0.1*cos(2*pi*100*t/T)+...
        0.05*cos(2*pi*120*t/T);
return
end
```

Furje aproksimacija, priklausomybė nuo laiko,  
m=200



Furje aproksimacija, harmonikų amplitudės,  
m=200



# MATLAB funkcijos *fft* taikymas diskrečiajai Furje transformacijai apskaičiuoti

Signalų reikšmės

Taškų skaičius

Harmonikų skaičius

$m = \text{floor}((n+1)/2)$

`yyy=fft(fff)/n;`

`spektras=abs(2*yyy(1:m));`

`spektras(1)=spektras(1)/2;`

`% harmonikų amplitudės`

`% pastovi dedamoji`

`spektras_c0=real(yyy(1));`

`% pastovi dedamoji`

`spektras_c=real(2*yyy(2:m));`

`% cos amplitudės`

`spektras_s=-imag(2*yyy(2:m));`

`% sin amplitudės`

- Diskrečioji Furje aproksimacija (dažnai vadinama ***Diskrečiąja Furje transformacija, DFT***) yra vienas iš svarbiausių *signalų analizėje* taikomų metodų;
- DFT įgalina nustatyti, kokie *harmoninių virpesių dažniai ir amplitudės* sudaro signalą, kuris buvo išmatuotas ir pateiktas *priklausomybės nuo laiko pavidale*. Kartais sakoma, kad DFT pavaizduoja signalą *amplitudžių ir dažnių erdvėje*;
- Signalų vaizdavimas amplitudžių ir dažnių erdvėje ne tik palengvina jo fizikinį suvokimą, tačiau gali būti panaudotas *informacijai saugoti (archyvuoti)*. Amplitudžių ir dažnių saugojimui dažniausiai reikia žymiai mažiau atminties, nei saugant to paties signalo reikšmių priklausomybę nuo laiko

- Dažniausiai aproksimuojančių harmonikų skaičius  $m$  parenkamas toks, kad duotų signalo taškų skaičius ir bendras aproksimuojančių funkcijų skaičius sutaptų, t.y.,  $n=2m-1$ . Tai reiškia, kad sprendžiamas interpoliavimo uždavinys. Aproksimuojanti kreivė praeina per visus duotus signalo taškus, todėl prarandama mažiausiai informacijos;
- Mūsų išnagrinėtame DFT algoritme nereikia spręsti lygčių sistemos. Vis dėlto, koeficientų apskaičiavimui tenka atlikti apie  $(2m^2)$  daugybos ir sudėties veiksmų. Greitesnis, tačiau sudėtingesnis yra *sparčiosios Furje transformacijos (FFT)* algoritmas, kuris nagrinėjamas specializuotuose signalų analizės kursuose. Jis sumažina veiksmų skaičių iki  $(m \cdot \log_2 m)$ , be to, gaunamos mažesnės apvalinimo paklaidos

# MATLAB funkcijos *fft* taikymas diskrečiajai Furje transformacijai apskaičiuoti

Signalų reikšmės

Taškų skaičius

Harmonikų skaičius

$m = \text{floor}((n+1)/2)$

`yyy=fft(fff)/n;`

`spektras=abs(2*yyy(1:m));`

`spektras(1)=spektras(1)/2;`

`% harmonikų amplitudės`

`% pastovi dedamoji`

`spektras_c0=real(yyy(1));`

`% pastovi dedamoji`

`spektras_c=real(2*yyy(2:m));`

`% cos amplitudės`

`spektras_s=-imag(2*yyy(2:m));`

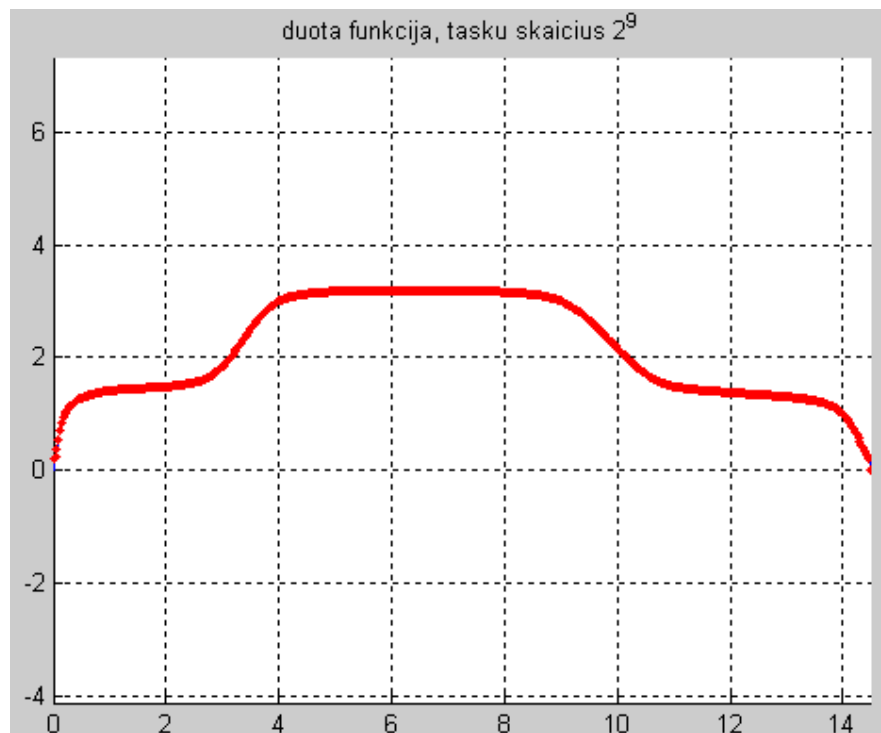
`% sin amplitudės`



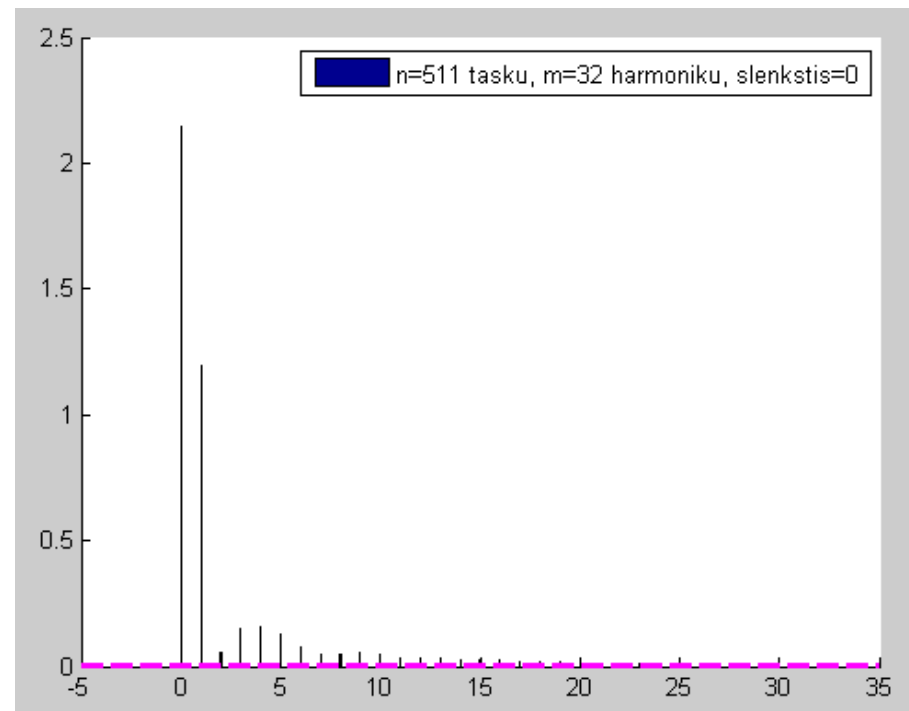
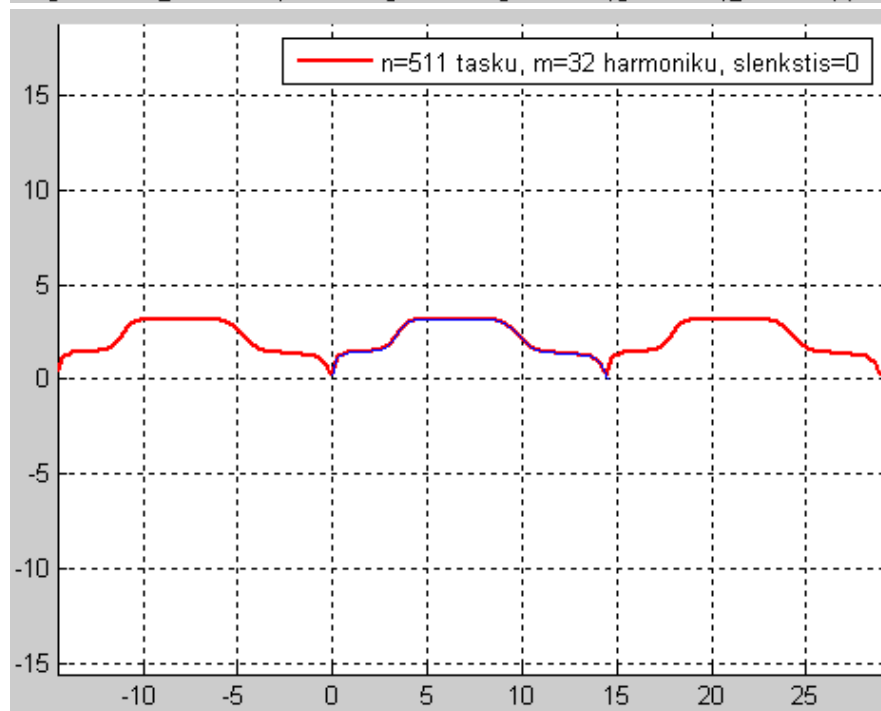
# Aproksimavimas bangelėmis (wavelets).

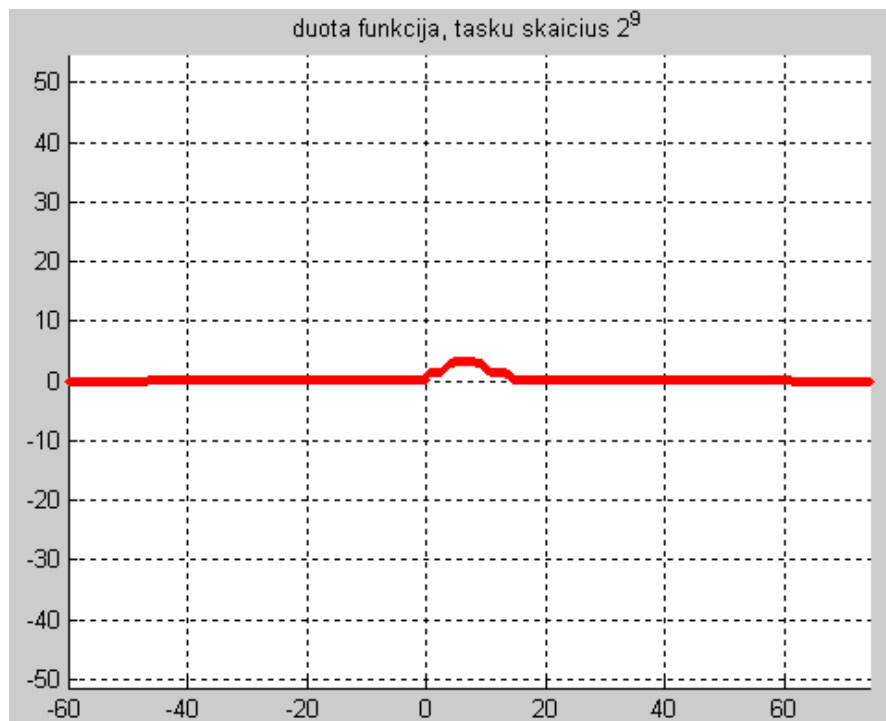
## *Haro bangelių aproksimacija*

- Furje aproksimacija geriausiai tinka periodinėms funkcijoms;
- Atskirą neperiodinį signalą galime sąlyginai aproksimuoti Furje būdu, pavaizdavę jį “ilgame periode“. Tačiau juo ilgesnis periodas, tuo daugiau harmonikų reikia signalo aproksimacijai;
- Galima teigti, kad Furje aproksimaciją neperiodiniams signalams taikyti neracionalu, kadangi jos bazinių funkcijų pobūdis *nėra lokalus*

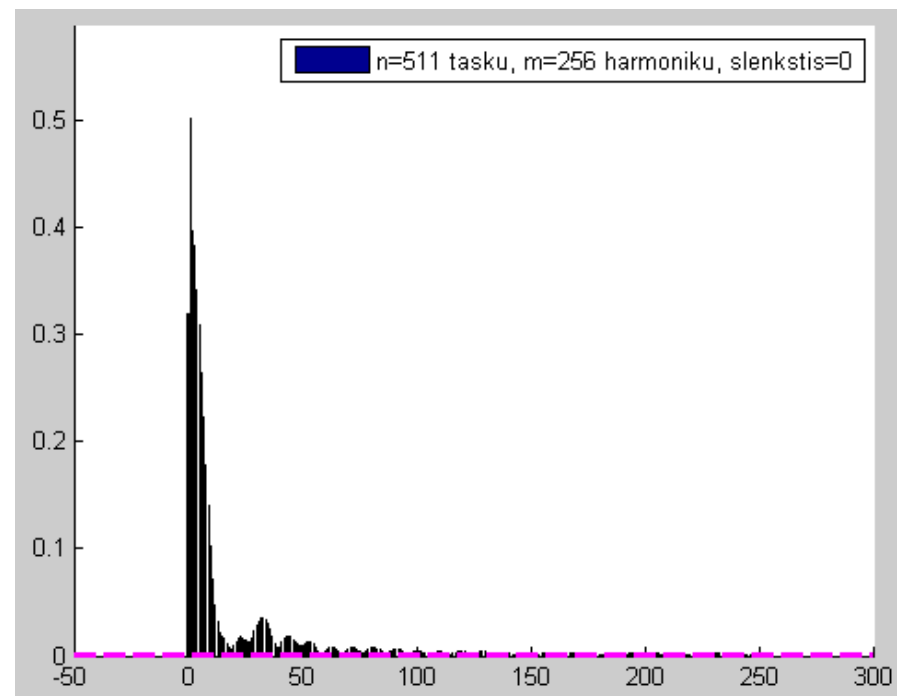
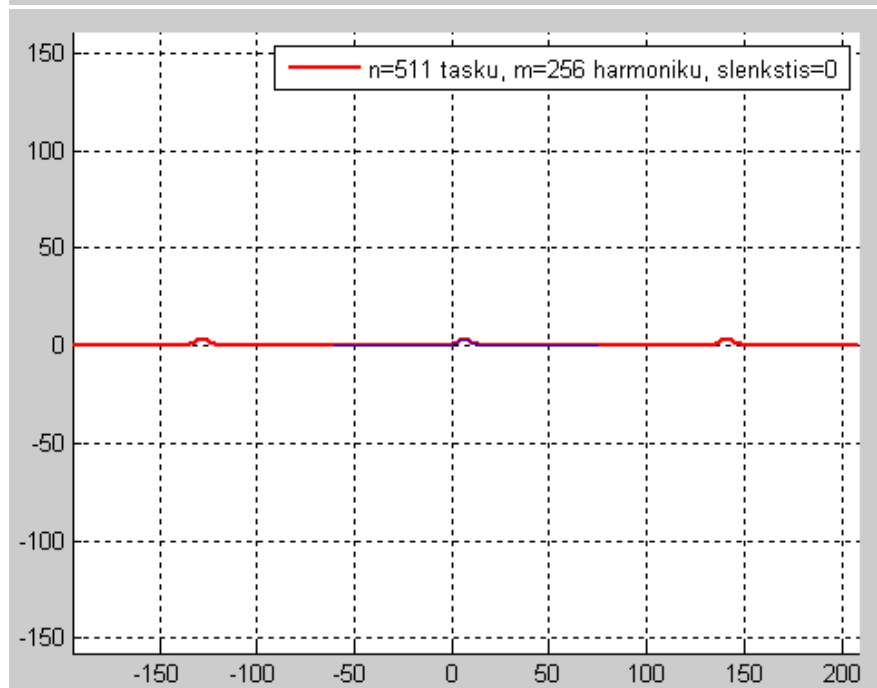


Aproksimuojant Furje būdu, tam tikrame intervale duota funkcija *pagal nutylėjimą tampa periodine*





Dirbtinai izoliavus signalą tam tikrame laiko intervale, **smarkiai išauga aproksimuojančių Furje harmonikų skaičius.**



- Neperiodinėms funkcijoms aproksimuoti naudojamos lokalųjį pobūdį turinčios bazinės funkcijos, vadinamos ***bangelėmis (wavelet)*** ;
- Bangelės gali būti įvairios, tačiau privalo tenkinti du svarbiausius reikalavimus:

$$\int_{-\infty}^{\infty} \psi(t) dt = 0$$

- turi “banguoti “ apie Ox ašį

$$\int_{-\infty}^{\infty} \psi^2(t) dt < \infty$$

- “energija“ turi būti baigtinė

Šios abi sąlygos gali būti patenkinamos, jeigu funkcija nelygi nuliui tik tam tikrame baigtiniame intervale. Jos grafikas visuomet panašus į tame intervale pavaizduotą “subangavimą”, t.y. pavienę ***bangelę***

“Energijos” terminas paremtas fizikine analogija: diferencijuodami “energiją”, turime gauti “jėgą”, pvz:

Tamprioji energija ir tamprumo jėga:  $\Pi = \frac{kx^2}{2}, \quad F = \frac{\partial \Pi}{\partial x} = kx;$

Svorio energija ir svorio jėga:  $\Pi = mgz; \quad F = \frac{\partial \Pi}{\partial z} = mg;$

- Išraiškos paprastesnės, kai formuluotės pateikiamos funkcijoms, apibrėžtoms  $[0,1]$  intervale;
- Esant kitokiam intervalui, galima pakeisti kintamąjį.

“Motininė” Haro bangelė :

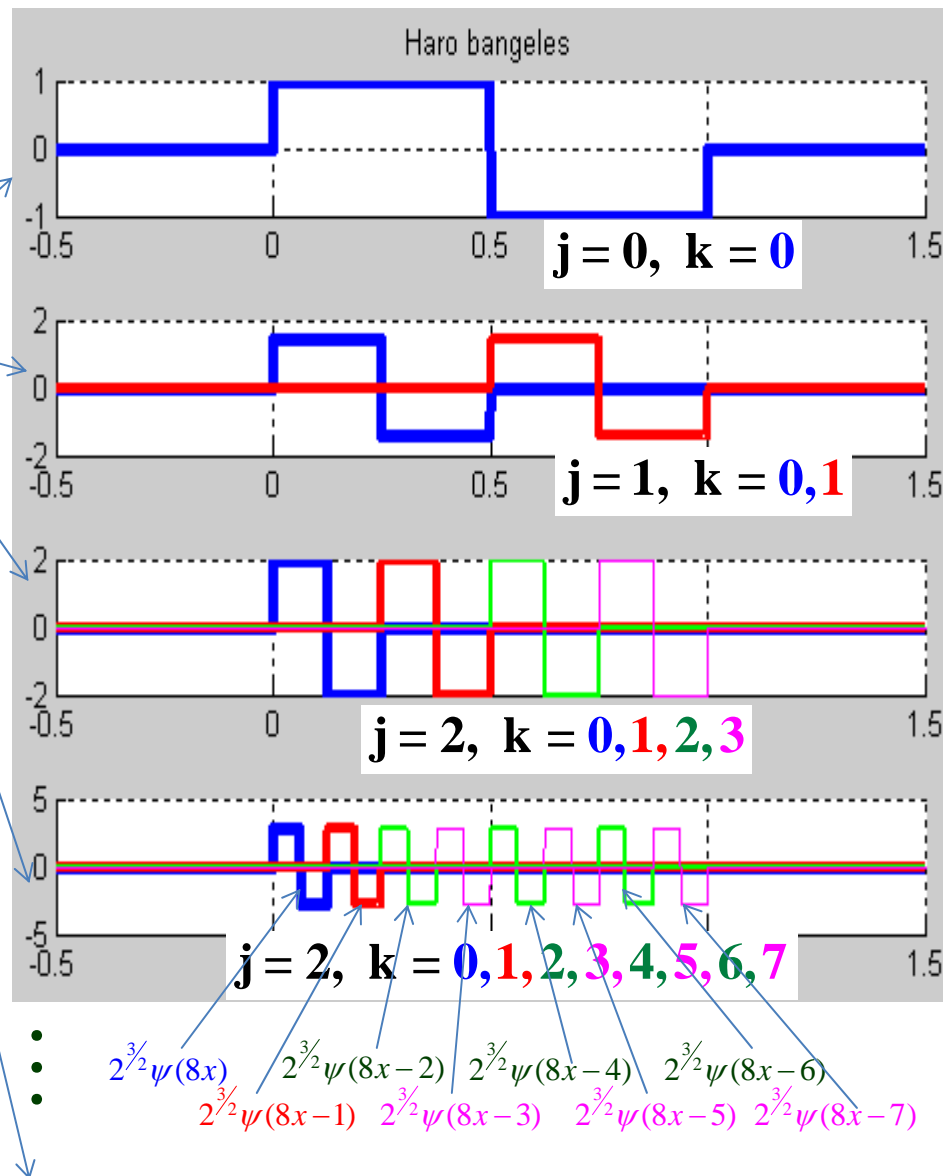
$$\psi(x) = \frac{1}{2}(\text{sign}(x) - 2\text{sign}(x - 0.5) + \text{sign}(x - 1))$$

“Energetinių signalų” bazė, gaunama, suspaudžiant ir perslenkant Ox ašyje motininę bangelę:

$$\left\{ 2^{j/2} \psi(2^j x - k) \right\},$$

$$j = 0, 1, 2, \dots$$

$$k = 0, 1, \dots, 2^j - 1$$



**Bangelių amplitudės skirtingos. Jos parenkamos taip:**

$$\int_0^1 \left( 2^{j/2} \psi(2^j x - k) \right)^2 dx = 1$$

$$j = 0, 1, 2, \dots$$

$$k = 0, 1, \dots, 2^j - 1$$

**Bangelės yra ortogonalios:**

**if**  $((j \sim r) \parallel (k \sim s))$

$$\int_0^1 \left( 2^{j/2} \psi(2^j x - k) \right) \left( 2^{r/2} \psi(2^r x - s) \right) dx = 0$$

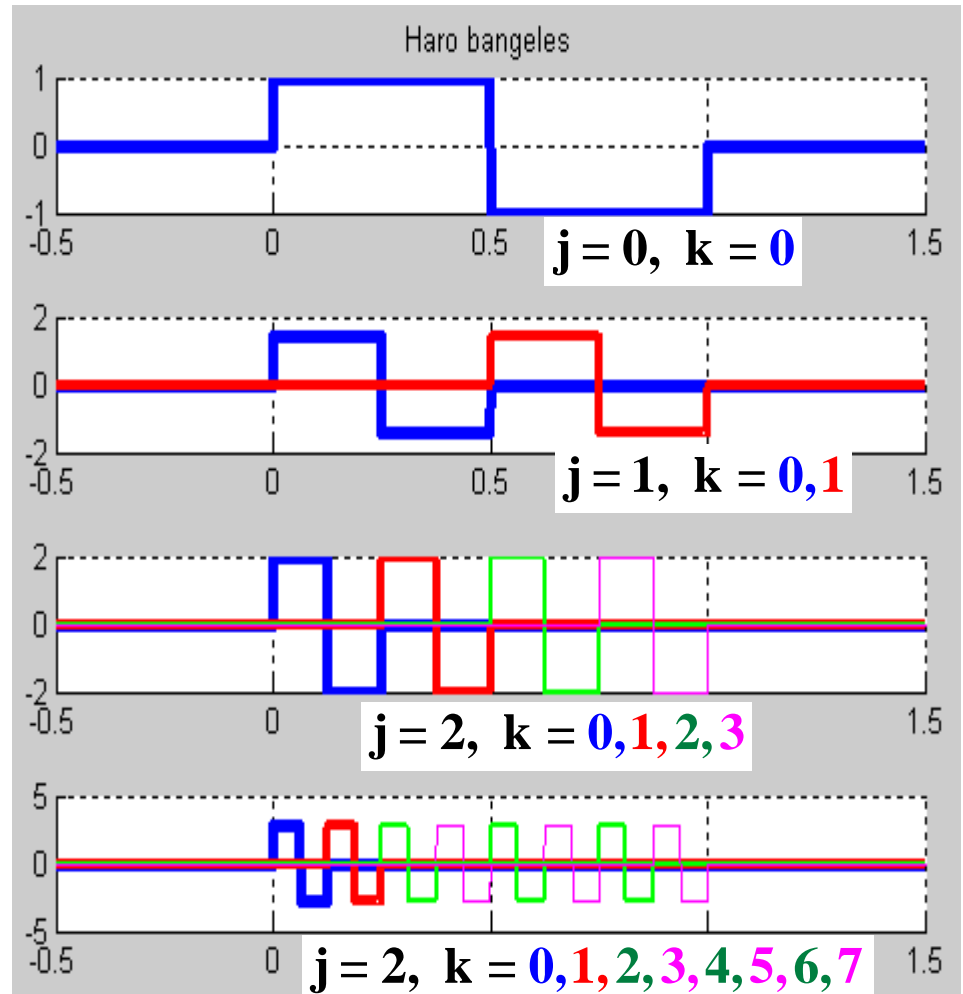
$$j = 0, 1, 2, \dots$$

$$k = 0, 1, \dots, 2^j - 1$$

$$r = 0, 1, 2, \dots$$

$$s = 0, 1, \dots, 2^r - 1$$

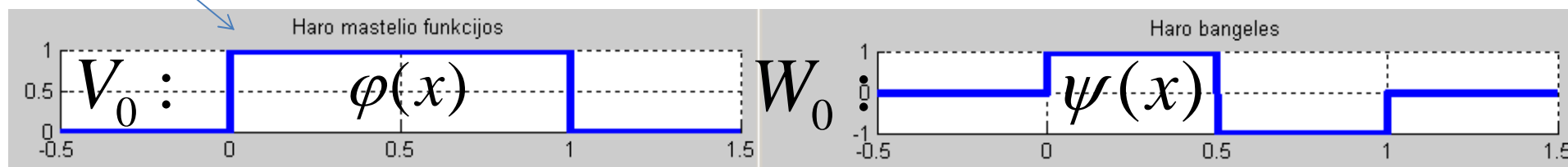
**end**



## Bangelēs susiejamās su “mastelio” (scaling) funkcijomis:

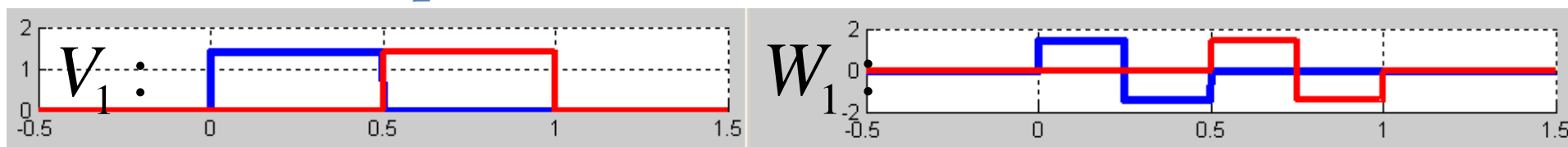
### “Motininė” mastelio funkcija

$$\varphi(x) = \frac{1}{2}(\text{sign}(x) - \text{sign}(x-1))$$



$$V_1 = V_0 \oplus W_0$$

**Smulkesnės mastelio funkcijos** gali būti gautos, tiesiškai kombinuojant vienu lygiu stambesnes **mastelio ir bangelių funkcijas**

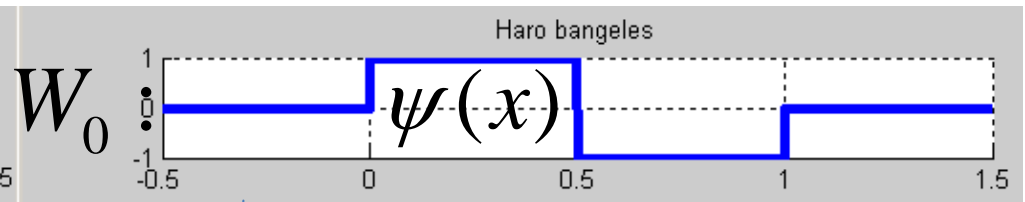
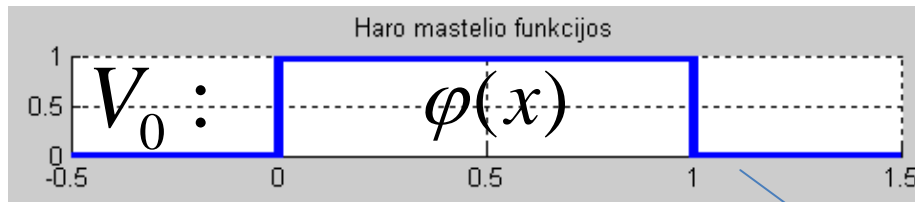


### Mastelio funkcijos suspaudimai ir perslinkimai:

$$\left\{ 2^{j/2} \varphi(2^j x - k) \right\}, j = 0, 1, 2, \dots \quad k = 0, 1, \dots, 2^j - 1$$

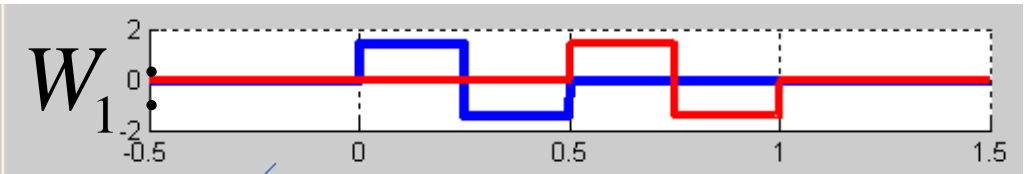
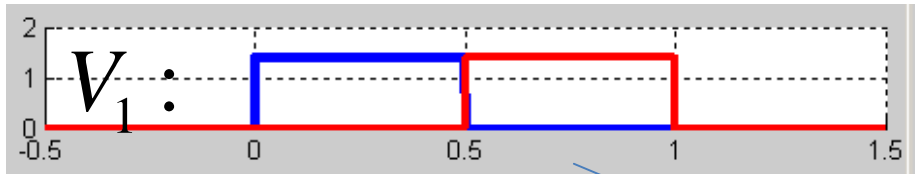
Tam tikro smulkumo mastelio funkcijų bazėje pavaizduojama **suglodinta** (t.y. aproksimuota) signalo funkcija

To paties lygio bangelių funkcija pavaizduoja **smulkesnes signalo detales**



Suglodintos funkcijos ir jos detalių suma yra tas pats signalas, **suglodintas smulkesnio mastelio funkcijų bazėje**

$$V_1 = V_0 \oplus W_0$$



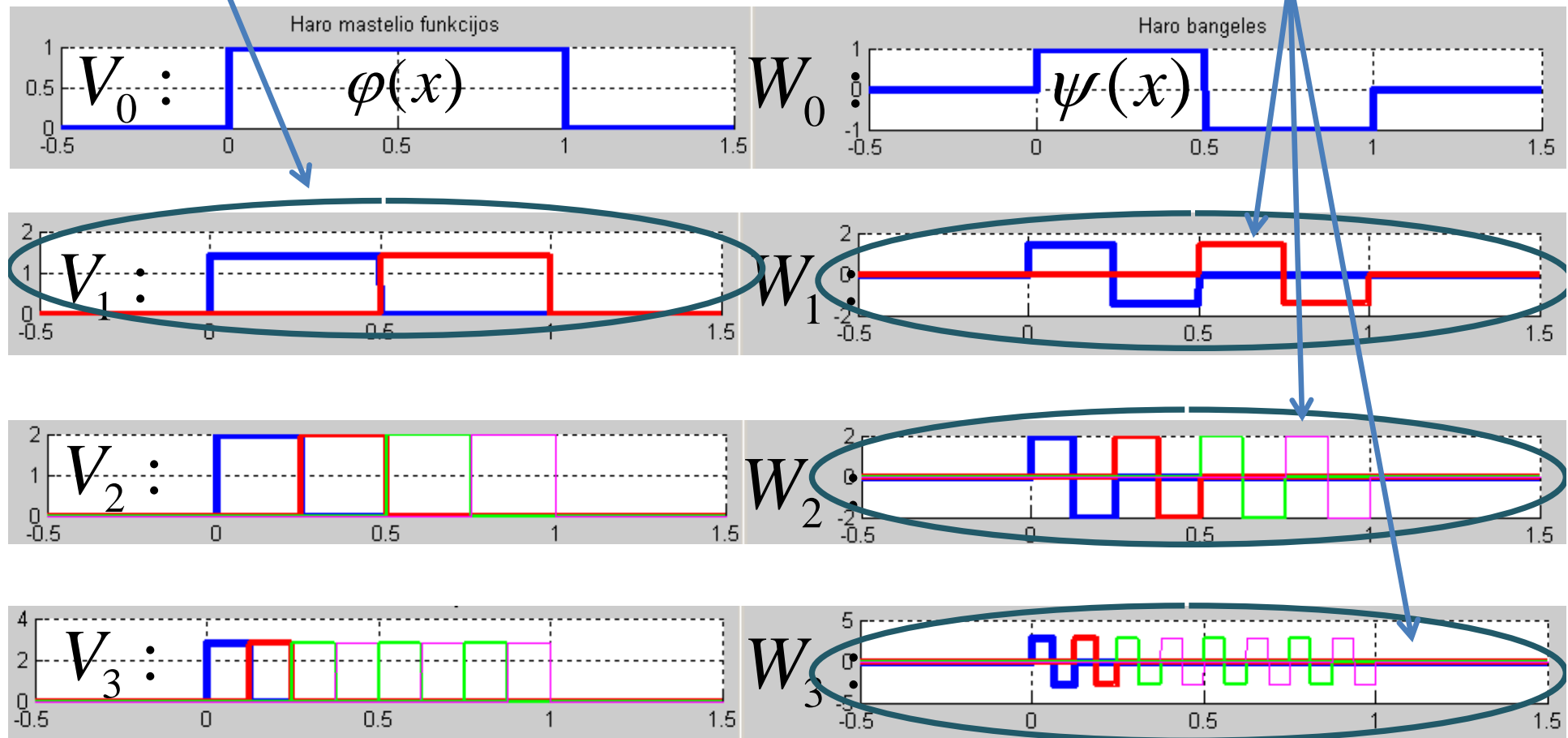
$$V_2 = V_1 \oplus W_1$$



## Aproksimavimo bangelėmis schema:

1. Pasirenkamas pradinis suglodinimo mastelis, apskaičiuojami ir išsaugomi koeficientai, kai duotas signalas aproksimuojamas šių mastelio funkcijų bazėje

2. Smulkesnių signalo detalių aproksimavimo koeficientai apskaičiuojami ir išsaugomi to paties ir smulkesniųjų lygių bangelių funkcijų bazėse



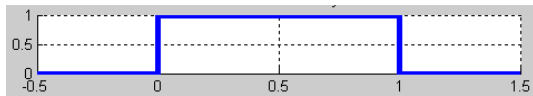
$$V_j : 2^{j/2} \varphi(2^j x - k), k = 0 : 2^j - 1$$

$$2^{j/2} \psi(2^j x - k), k = 0 : 2^j - 1$$

# Kaip apskaičiuoti bangelių aproksimacijos koeficientus?

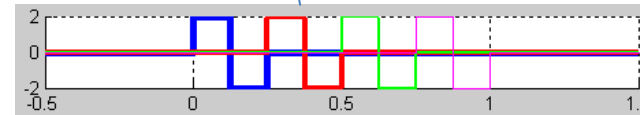
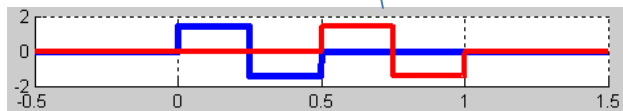
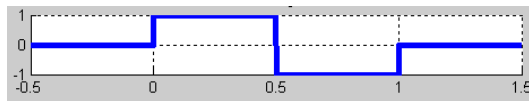
**1. Bangelių aproksimacija yra bendrojo aproksimavimo uždavinio atskiras atvejis, kai turime tokią aproksimuojančių funkcijų bazę:**

Mastelio funkcija  
(pradinis suglodinimas)



Bangelių funkcijos  
(detalės)

$$f(x) = \varphi(x) \quad \psi(x) \quad 2^{1/2}\psi(2x) \quad 2^{1/2}\psi(2x-1) \quad 2^1\psi(2x) \quad 2^1\psi(2x-1) \quad 2^1\psi(2x-2) \quad 2^1\psi(2x-3) \quad \dots$$



$$\left\{ \begin{array}{l} a_0 \\ b_0^0 \\ b_0^1 \\ b_1^1 \\ b_0^2 \\ b_1^2 \\ b_2^2 \\ b_3^2 \\ \vdots \end{array} \right\}$$



koeficientai

$$f(x) = \left[ \begin{array}{cccccccc} \varphi(x) & \psi(x) & 2^{1/2}\psi(2x) & 2^{1/2}\psi(2x-1) & 2^1\psi(2x) & 2^1\psi(2x-1) & 2^1\psi(2x-2) & 2^1\psi(2x-3) & \dots \end{array} \right] \left\{ \begin{array}{c} a_0 \\ b_0^0 \\ b_0^1 \\ b_1^1 \\ b_0^2 \\ b_1^2 \\ b_2^2 \\ b_3^2 \\ \vdots \end{array} \right\}$$

$$f(x) = [\mathbf{G}(x)] \{\mathbf{c}\}$$

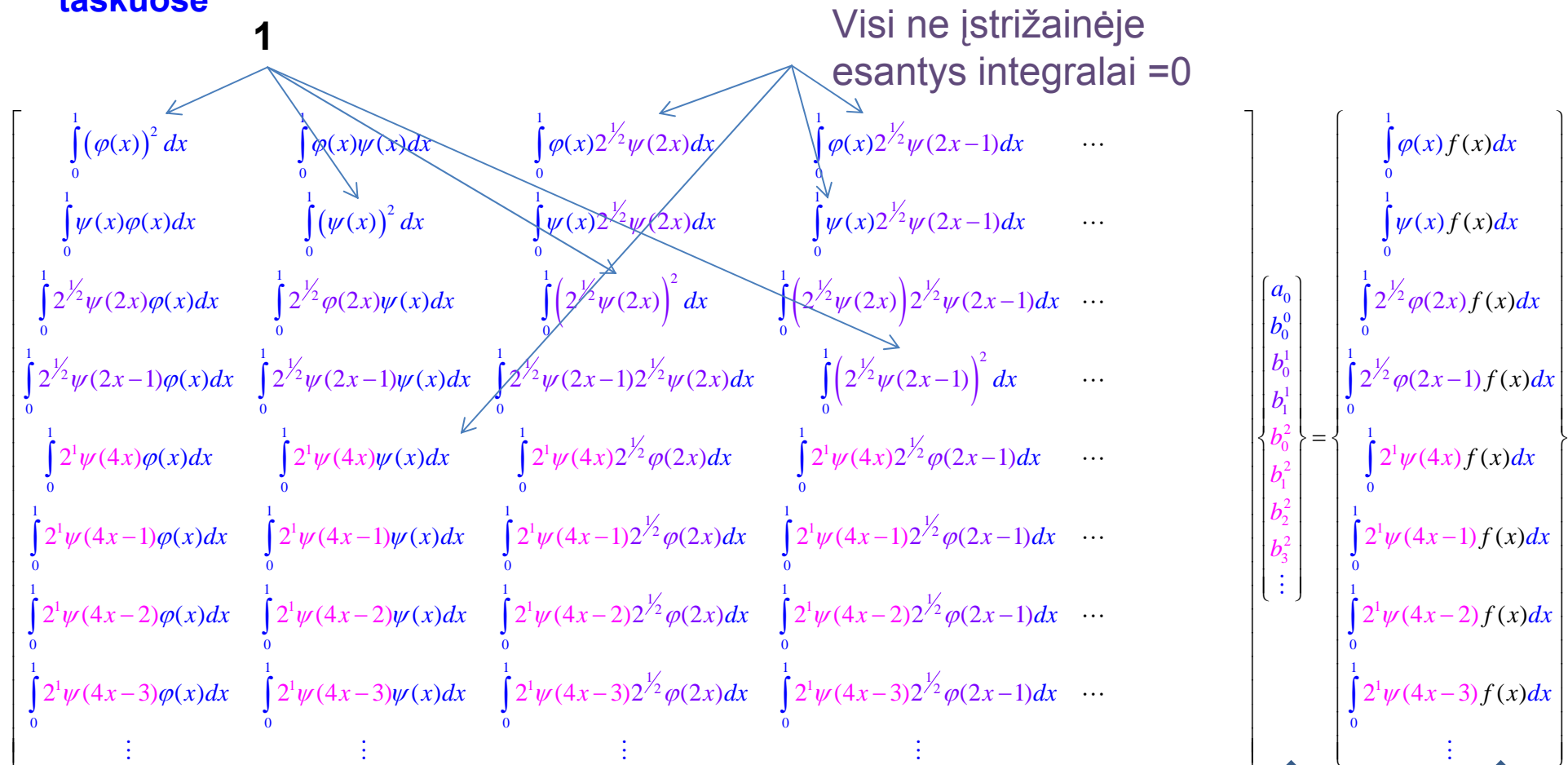
leškomi  
koeficientai

$$[\mathbf{G}(x)]^T [\mathbf{G}(x)] \{\mathbf{c}\} = [\mathbf{G}(x)]^T f(x)$$

$$\int_0^1 [\mathbf{G}(x)]^T [\mathbf{G}(x)] dx \{\mathbf{c}\} = \int_0^1 [\mathbf{G}(x)]^T f(x) dx$$

- Aproximacijos išraišką paeiliui padauginame iš visų bazinių funkcijų ir apskaičiuojame integralus;

- Integralų tiesiogiai keisti diskretinėmis sumomis, deja, negalime. Skirtingai nuo Furje bazinių funkcijų, čia bazė ortogonal tik integruojant, o ne sumuojant diskrečiuose taškuose



Ši matrica gaunama vienetinė, kadangi bangelių ir mastelio funkcijų bazė yra ortonormuota

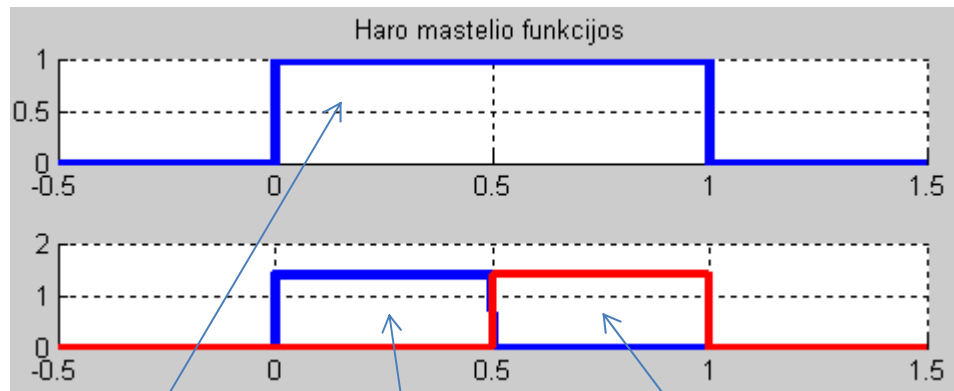
ieškomi koeficientai

Šiuos integralus tekstų apskaičiuoti

# Kaip apskaičiuoti bangelių aproksimacijos koeficientus?

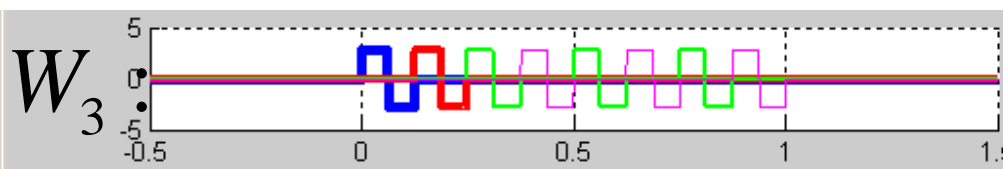
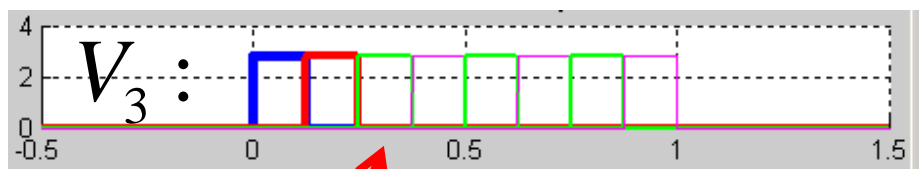
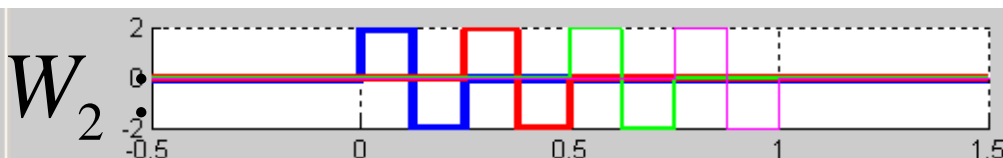
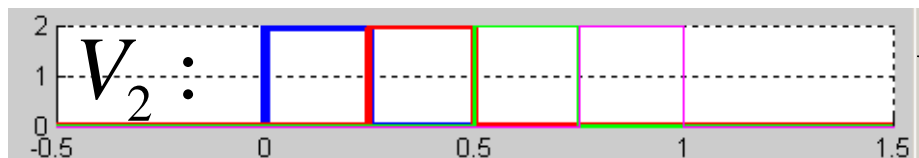
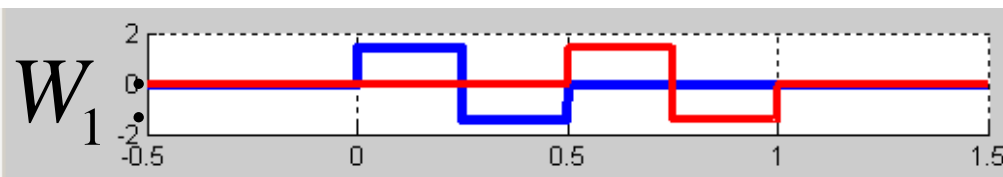
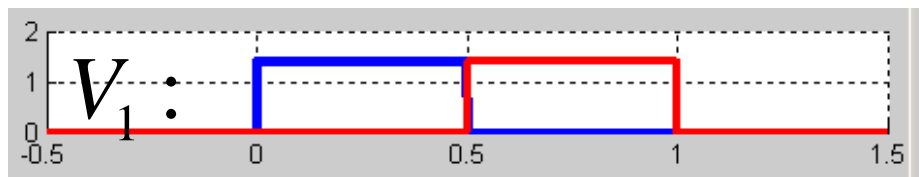
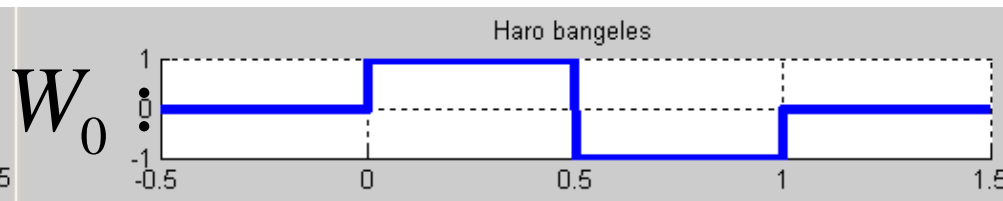
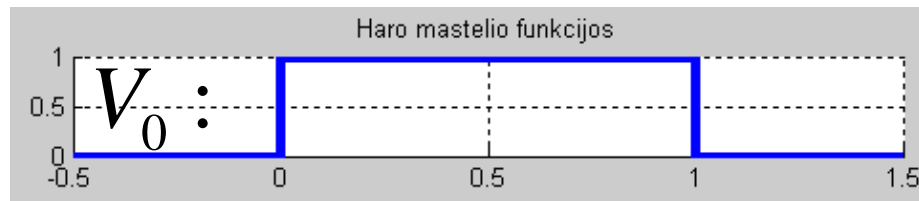
## 2. Piramidinis algoritmas

- Skaičiavimų apimties požiūriu, neracionalu tiesiogiai taikyti mažiausių kvadratų algoritmą bangelių aproksimacijos koeficientų apskaičiavimui. Tą patį rezultatą žymiai greičiau gausime, taikydami *piramidinį algoritmą*;
- Piramidinis algoritmas paremtas jau aptartomis bangelių savybėmis ir *plėtinio lygtimi*;
- Plėtinio lygtis* tiesine priklausomybe susieja mastelio funkcijų išraiškas dviejuose gretimuose smulkumo lygiuose:



$$\varphi(x) = \varphi(2x) + \varphi(2x-1)$$

## Piramidinis algoritmas, 1 žingsnis:

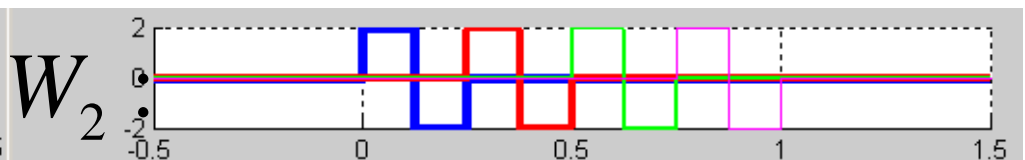
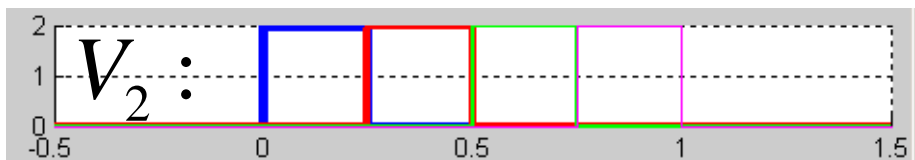
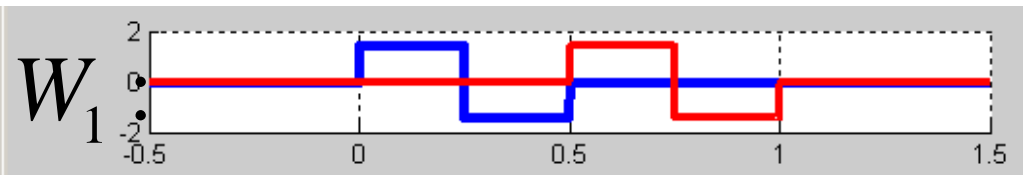
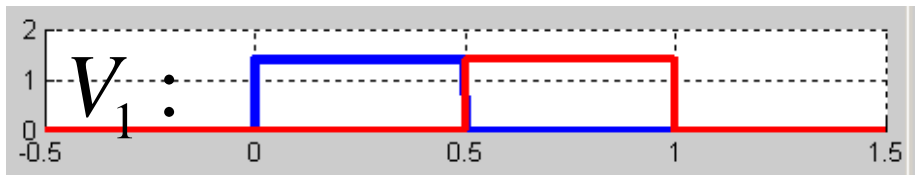
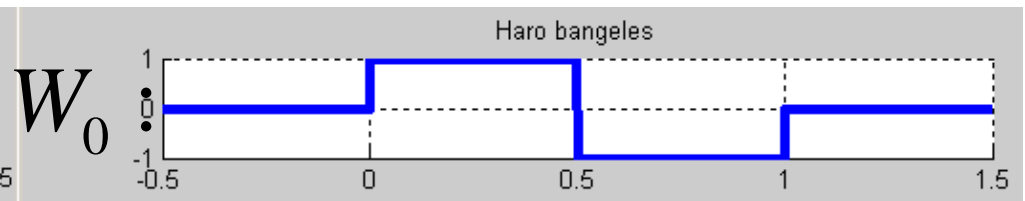
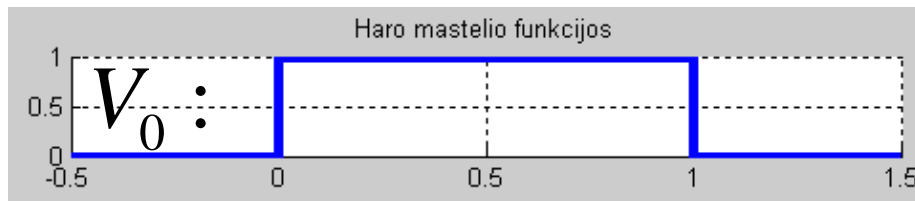


1. Signalą, duotą  $2^n$  (šioje paveiksle  $n=3$ ) taškuose, aproksimuojame mastelio funkcijų bazeje

$$\mathbf{V}_n : 2^{n/2} \varphi(2^n x - k), k = 0 : 2^n - 1$$

$$\mathbf{a}_i^n = 2^{-n/2} y_i, i = 0 : 2^n - 1$$

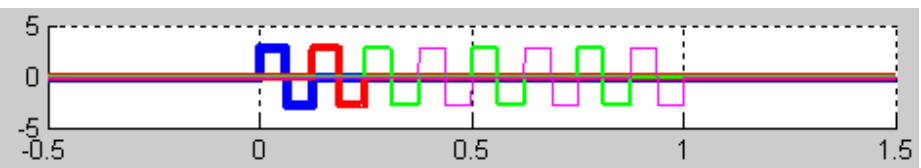
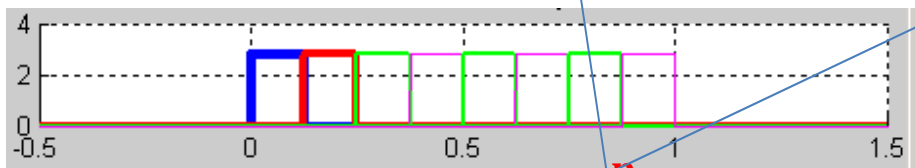
## Piramidininis algoritmas, 2 žingsnis:



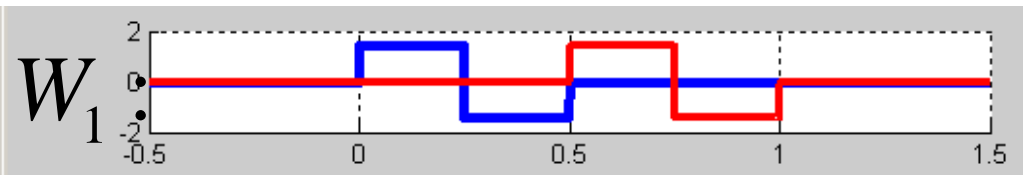
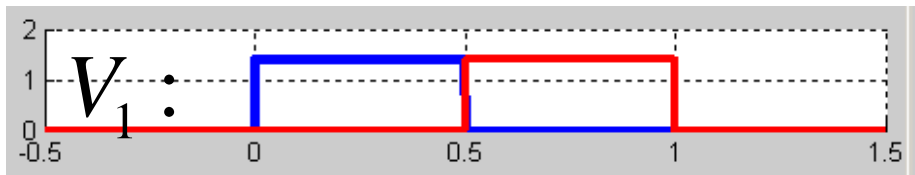
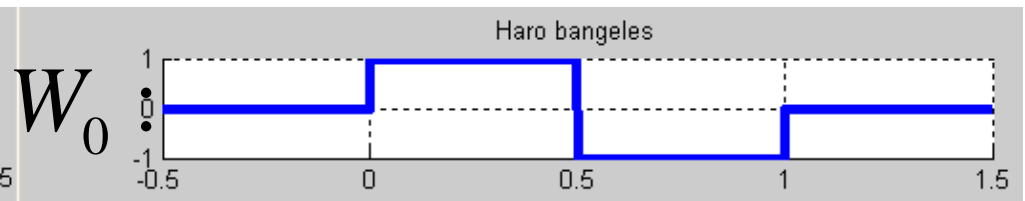
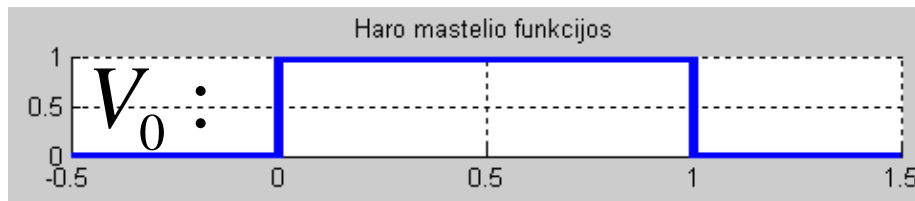
$$a_i^{n-1} = \frac{a_{2i-1}^n + a_{2i}^n}{\sqrt{2}};$$

$$b_i^{n-1} = \frac{a_{2i-1}^n - a_{2i}^n}{\sqrt{2}};$$

2. Apskaičiuojame mastelio funkcijų ir bangelių koeficientus, aproksimuojančius stambesnio mastelio bazinių funkcijų lygmenyje



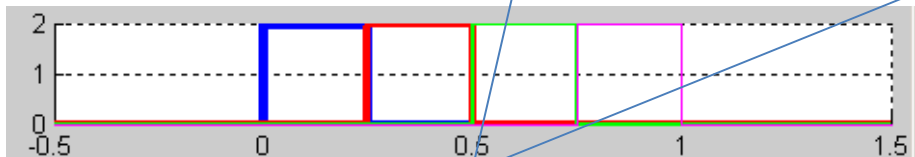
## Piramidininis algoritmas, 3 žingsnis, ir t.t.:



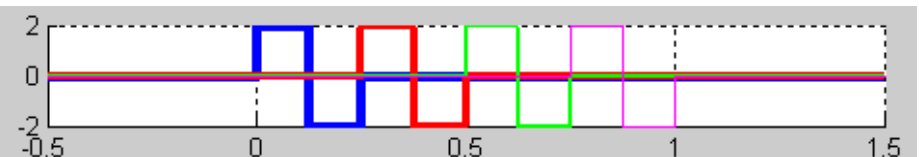
$$a_i^{n-1} = \frac{a_{2i-1}^n + a_{2i}^n}{\sqrt{2}};$$

$$b_i^{n-1} = \frac{a_{2i-1}^n - a_{2i}^n}{\sqrt{2}};$$

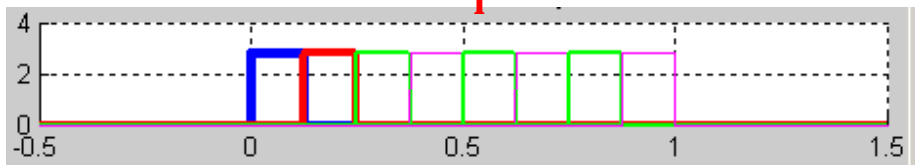
3. Apskaičiuojame mastelio funkcijų ir bangelių koeficientus, aproksimuojančius stambesnio mastelio bazinių funkcijų lygmenyje



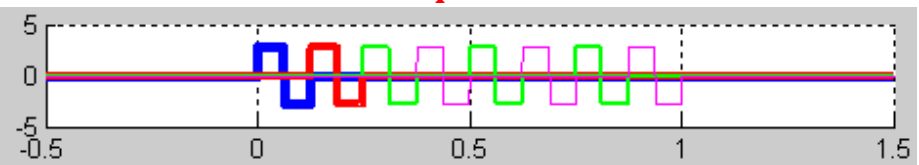
$a_i^{n-1}$  nesaugome



$b_i^{n-1}$  saugome



$a_i^n$  nesaugome





## Atvejis, kai intervalas [a,b]:

$$\tilde{x} = \frac{x}{b-a} - \frac{a}{b-a}; \quad \varphi(\tilde{x}) = \frac{1}{2(b-a)} (\text{sign}(\tilde{x}) - \text{sign}(\tilde{x}-1))$$

$$\tilde{x} = \frac{x}{b-a} - \frac{a}{b-a}; \quad \psi(\tilde{x}) = \frac{1}{2(b-a)} (\text{sign}(\tilde{x}) - 2\text{sign}(\tilde{x}-0.5) + \text{sign}(\tilde{x}-1))$$

Suglodinimas pagal duotas signalo reikšmes  
smulkiausiame mastelyje:

$$\mathbf{a}_i^n = 2^{-n/2} (b-a) y_i, \quad i = 0 : 2^n - 1$$

```
function h=Haar_scaling(x,j,k,a,b) %  
eps=1e-9; xtld=(x-a)/(b-a);  
xx=2^j*xtld-k; h=2^(j/2)*(sign(xx+eps)-sign(xx-1-eps))/(2*(b-a));  
return,end
```

```
function h=Haar_wavelet(x,j,k,a,b)  
eps=1e-9; xtld=(x-a)/(b-a);  
xx=2^j*xtld-k; h=2^(j/2)*(sign(xx+eps)-2*sign(xx-0.5)+sign(xx-1-eps))/(2*(b-a));  
return,end
```

**!!! Realizuojant programiškai,  
stačiakampių frontų priekinis  
ir galinis “nuliai”  
nevaizduojami.**

**Tam horizontalios bazinių  
funkcijų dalys labai mažais  
dydžiais pratesiamos už  
intervalo ribų**

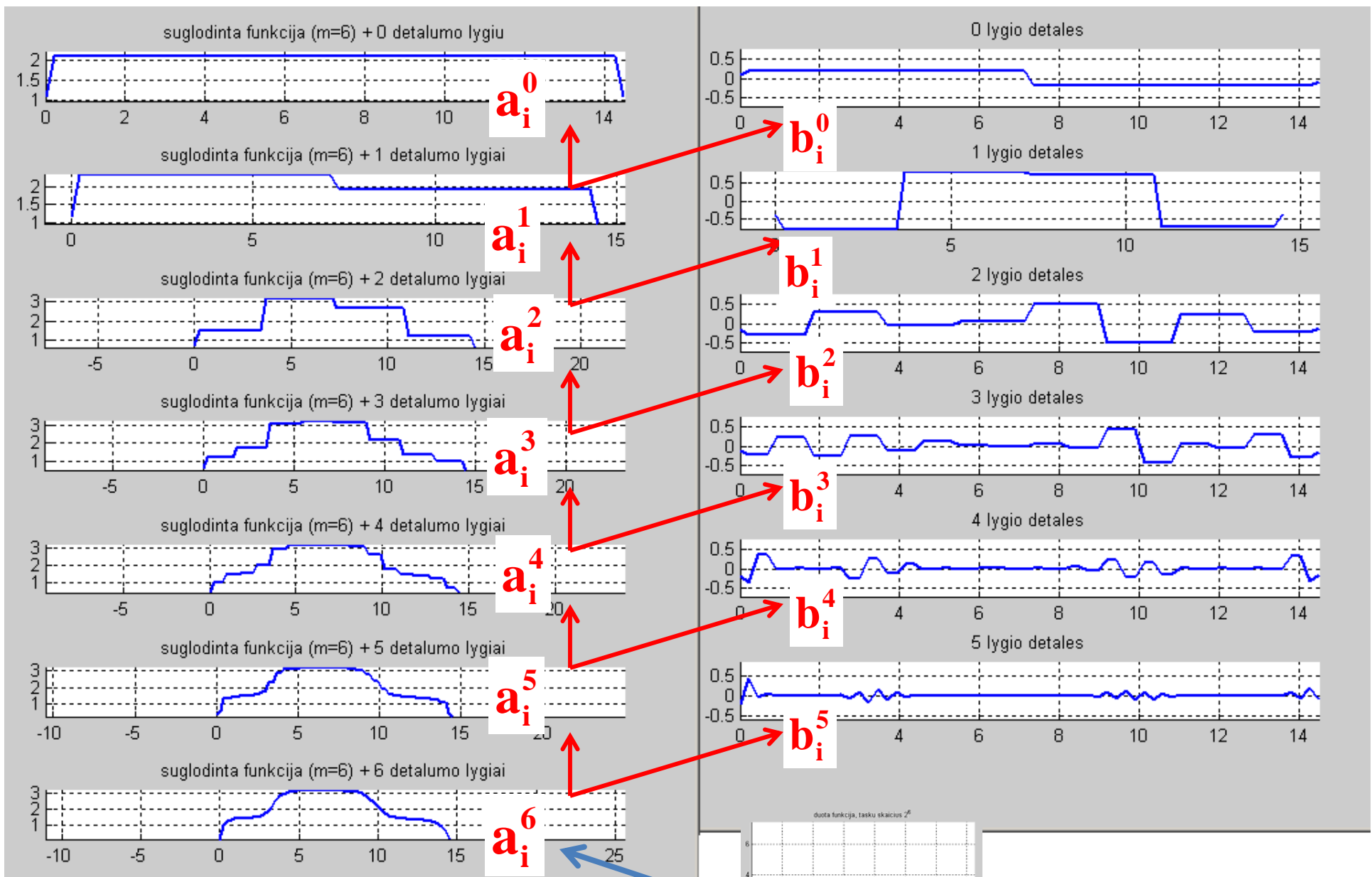
# Piramidinis algoritmas (formulių suvestinė)

Duoti taškai:  $(x_i, y_i), i = 1:2^n$

Suglodinimas  
smulkiausiam mastelyje:  $a_i^n = 2^{-n/2}(b-a)y_i, i = 1:2^n$

Suglodinimo ir detalių  
koeficientų  
apskaičiavimas  
stambesniuose  
masteliuose:

$$a_i^{n-1} = \frac{a_{2i-1}^n + a_{2i}^n}{\sqrt{2}}; \quad b_i^{n-1} = \frac{a_{2i-1}^n - a_{2i}^n}{\sqrt{2}};$$
$$a_i^{n-2} = \frac{a_{2i-1}^{n-1} + a_{2i}^{n-1}}{\sqrt{2}}; \quad b_i^{n-3} = \frac{a_{2i-1}^{n-1} - a_{2i}^{n-1}}{\sqrt{2}};$$
$$\vdots$$
$$a_i^0 = \frac{a_1^1 + a_2^1}{\sqrt{2}}; \quad b_i^0 = \frac{a_1^1 - a_2^1}{\sqrt{2}};$$

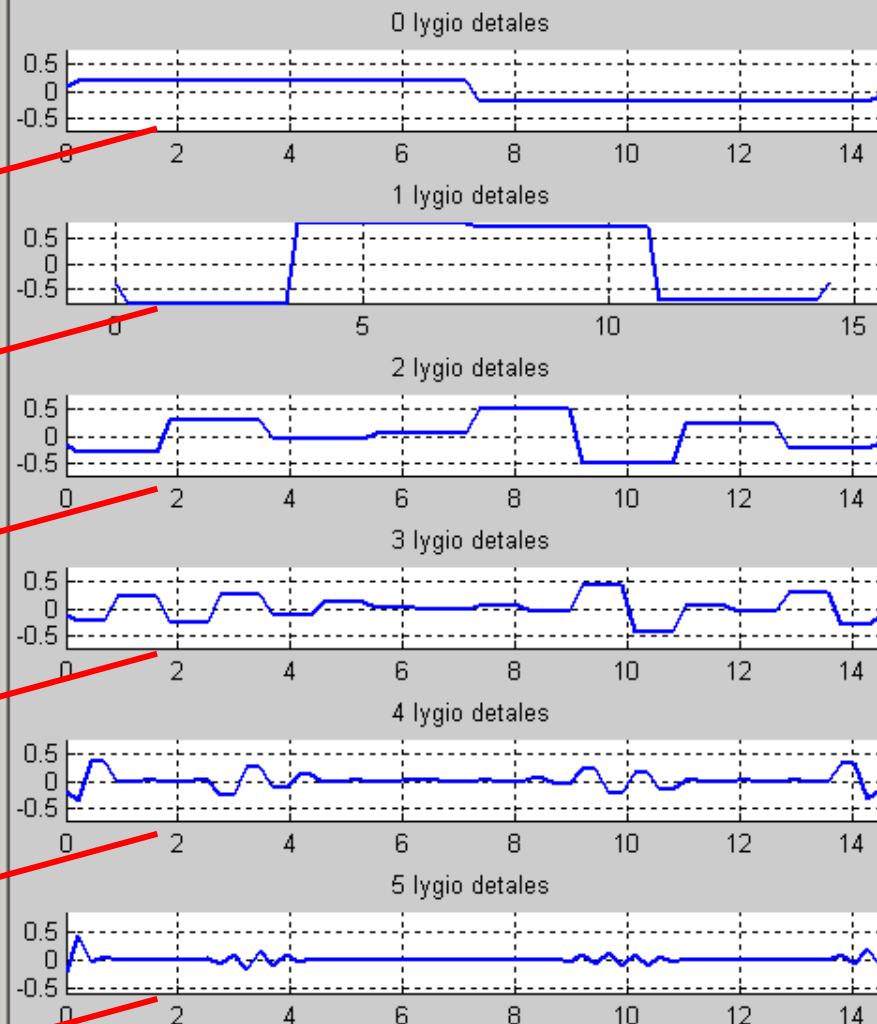
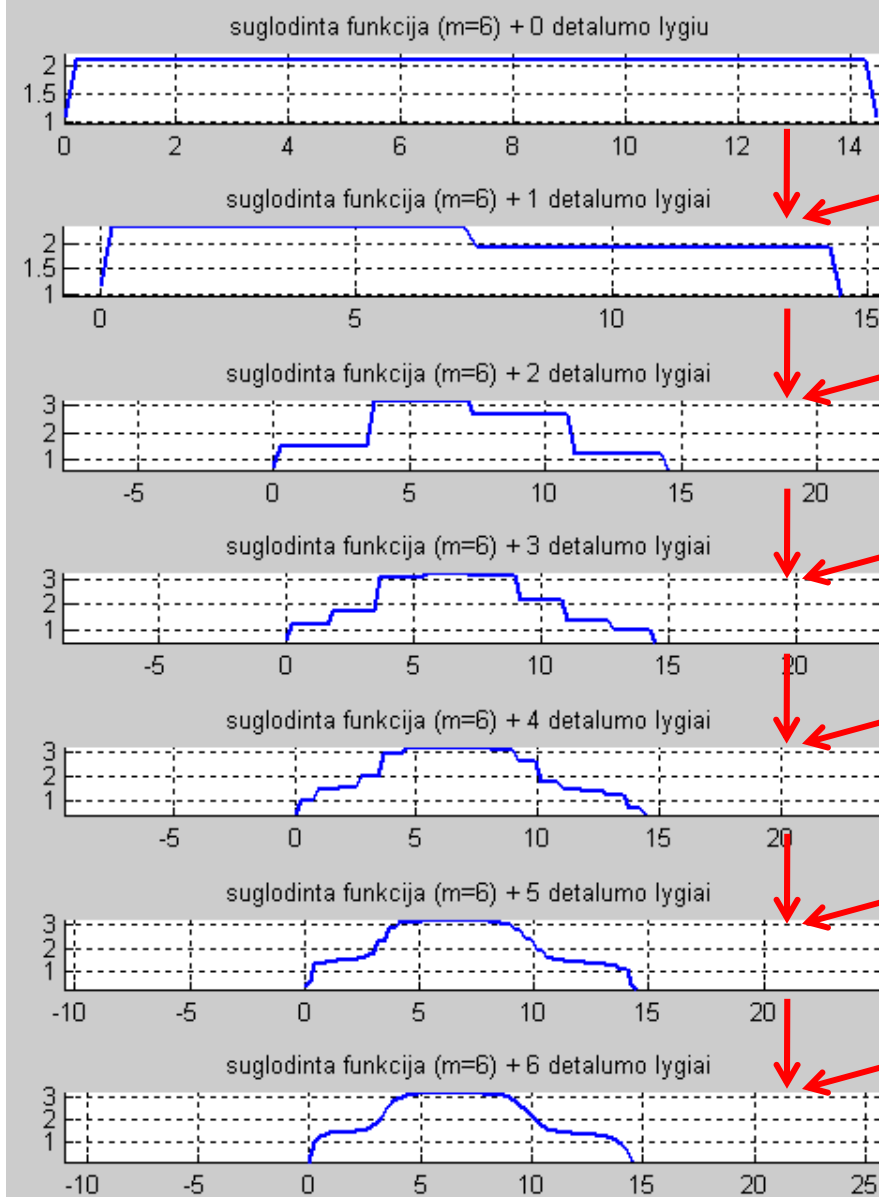


$$(x_i, y_i), i = 1:2^6$$

$$a_i^6 = 2^{-3}(b-a)y_i, i = 1:2^6$$

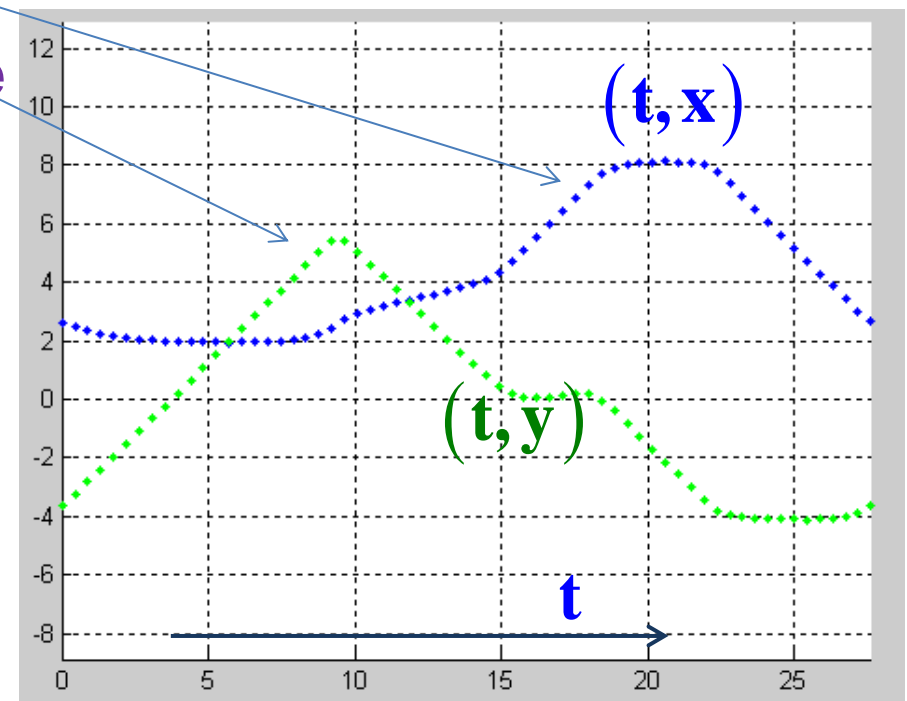
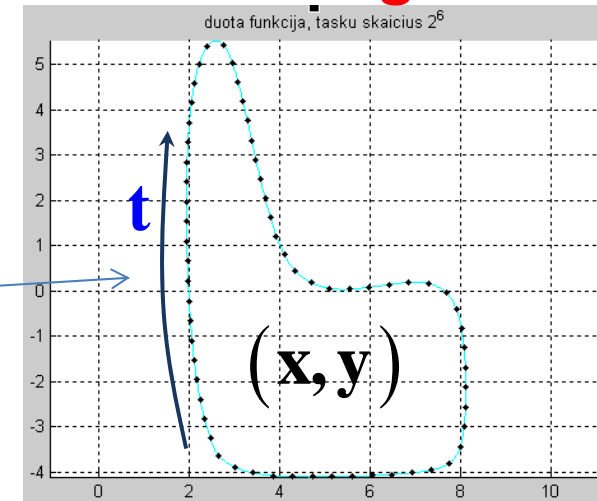
**Bangelių  
koeficientų  
apskaičiavimas**

## Bangelėmis aproksimuoto signalo reikšmių apskaičiavimas

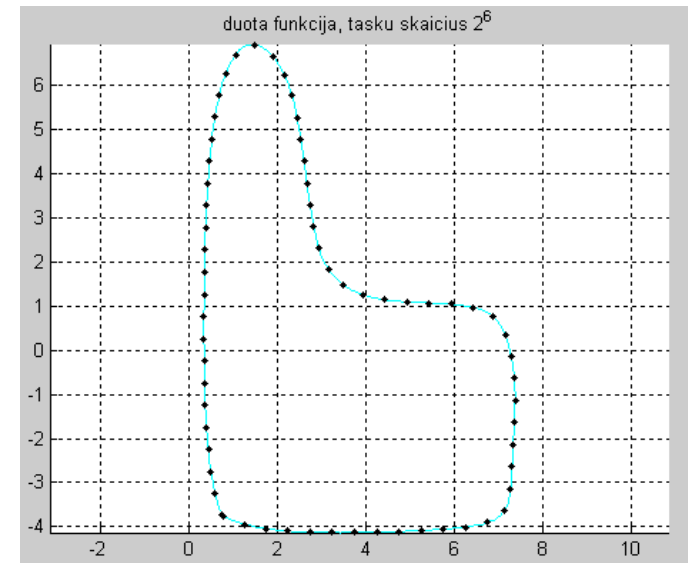
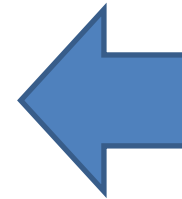
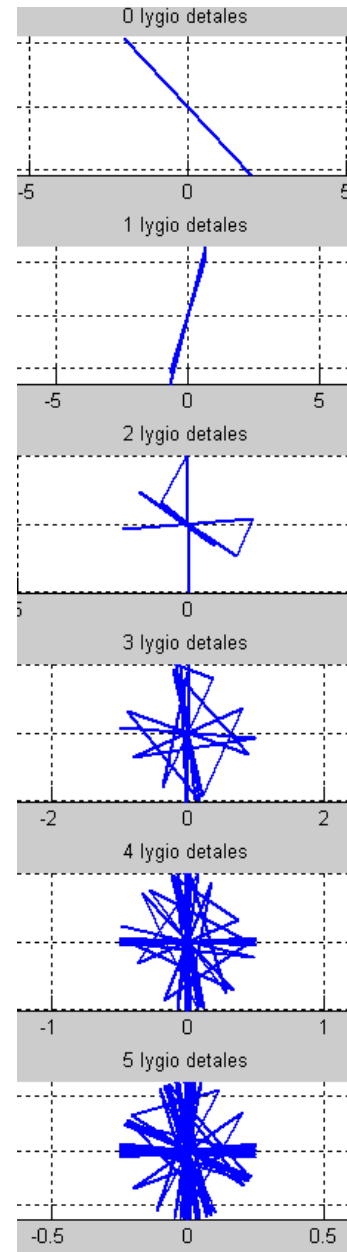
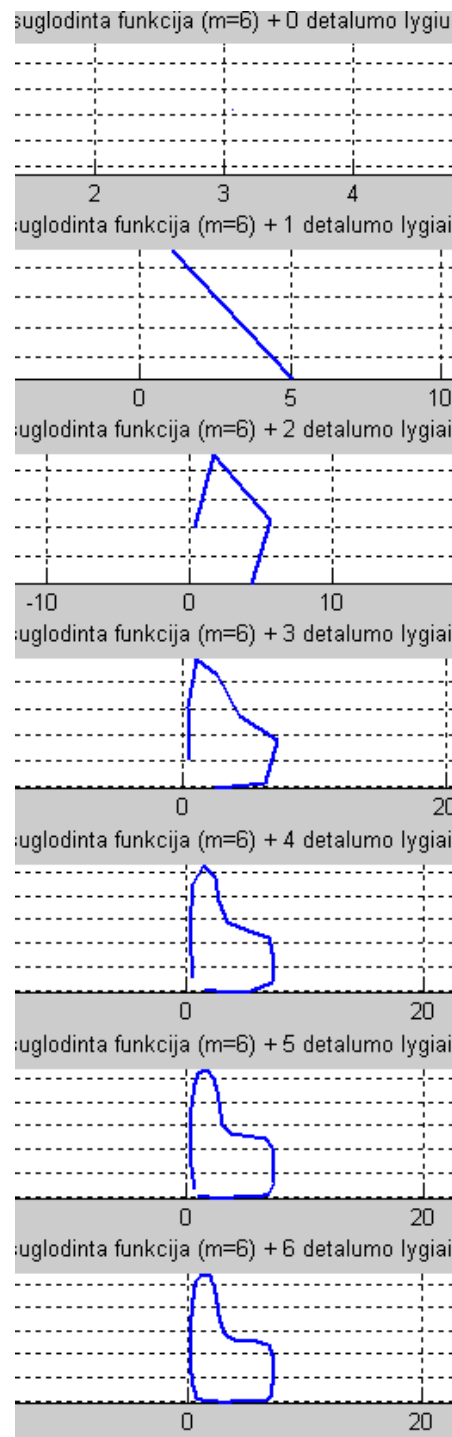


# Parametriškai duotų funkcijų aproksimavimas bangelėmis

- Duota taškų seka, aprašanti bendrojo pavidalo *kreivę*
- Sudaromos jos koordinačių priklausomybės nuo parametro
- Didėjančio argumento sekos  $(t, x)$  ir  $(t, y)$  laikomos dviem nepriklausomais signalais, kurie aproksimuojami bangelėmis



# Parametrinis aproksimavimas Haro bangelėmis



- Apskaičiavus aproksimuoto signalo reikšmes, jos vaizduojamos erdvėje  $(x,y)$ , t.y. eliminuojamas parametras  $t$
- Čia nulinio detalumo lygio suglodinta funkcija yra vienas taškas, kadangi duotoji kreivė yra uždara